

МИНИСТЕРСТВО ГЕОЛОГИИ СССР  
МИНИСТЕРСТВО ГЕОЛОГИИ РСФСР  
КРАСНОЯРСКОЕ ГЕОЛОГИЧЕСКОЕ УПРАВЛЕНИЕ

# ГЕОЛОГИЧЕСКАЯ КАРТА СССР

масштаба 1:200000

*Серия Енисейская*

Лист О-46-XVIII

## Объяснительная записка

Составители: Б. В. Шибистов, Н. Р. Шибистова, В. В. Шевченко  
Редактор Е. В. Покровский

Утверждено филиалом Научно-редакционного совета ВСЕГЕИ  
при СНИИГИМС 8 апреля 1963 г., протокол № 10



11828

ИЗДАТЕЛЬСТВО «НЕДРА»  
МОСКВА 1969

СЛ 32.52

## ВВЕДЕНИЕ

Территория листа О-16-XVIII расположена на восточной окраине Енисейского кряжа, в пределах Удерейского и Богучанского районов Красноярского края РСФСР, между  $58^{\circ}00'$ — $58^{\circ}40'$  с. ш. и  $95^{\circ}00'$ — $96^{\circ}00'$  в. д.

Район относится к области горно-таежного ландшафта. Рельеф низкогорный. Максимальная абсолютная отметка на водоразделе р. Аладьиной и руч. Ниж. Зелинды достигает 598 м. В приангарской части отметки снижаются до 200—400 м. Минимальные абсолютные отметки имеет долина р. Ангары: от 113 м у восточной до 96 м у западной границы района. Превышение водоразделов над тальвегами долин составляют 50—200 м.

Гидросеть принадлежит бассейну р. Ангары, протекающей в центральной части района с северо-востока на юго-запад. Из-за мелководности в межений период р. Ангара доступна лишь для мелкосидящих судов. Глубина реки на перекатах не превышает 1—1,5 м.

Правый приток р. Ангары — р. Каменка — пригодна для плавания на моторных лодках, а в паводок для мелкосидящих судов. Остальные притоки р. Ангары (рр. Аладьина, Нижн. и Верх. Осянка) и притоки р. Тасеевой (рр. Моктыгни, Бол. Родина) мелководны, быстры и для судоходства не пригодны.

Климат района континентальный. Температура зимой понижается до  $-50^{\circ}$ , летом достигает  $+25$ — $30^{\circ}$ . Количество осадков 400—500 мм в год.

Промышленных предприятий в районе нет. Сельское хозяйство из-за неблагоприятных климатических условий развито слабо. Помимо сельского хозяйства местное население занято на лесозаготовках, проводимых Мотыгинским леспромхозом.

Путем сообщения между населенными пунктами района служит р. Ангара. Дороги и тропы редки и пригодны для гужевого и выочного транспорта.

Первые сведения о посещении р. Ангары исследователями относятся к первой половине XVII в. Исследования до конца XIX в. носят эпизодический характер. Из геологических работ того времени известны работы Г. И. Гмелина (1761), М. К. Коцкого (1844—1845) и П. К. Яворовского (1895).

Маршрутные исследования на Енисейском кряже, в частности по рр. Ангаре, Каменке, Верх. Осянке и Нижн. Осянке, в 1898—1903 гг. проводились А. К. Мейстером. Им была составлена геологическая карта в 5-верстном масштабе и разработана стратиграфическая схема, которая легла в основу сводных работ ряда исследователей кряжа. Отложения, слагающие Енисейский кряж, им разделены на две группы: метаморфическую и нормально осадочную. Метаморфическую группу автор относит к докембрию и делит на нижне- и верхнеизвестниковые отдеи, которые в свою очередь делятся на свиты. К нормально осадочной группе им отнесена красноцветная свита кембро(?)—сибирских образований.

В 1923 г. С. В. Обручевым составлена маршрутная карта масштаба 1 : 250 000 по рр. Ангаре (от р. Кат до Гребенского Быка) и Каменке. Им было произведено более дробное разделение докембрийских и кембрийских отложений, установлено более строгое стратиграфическое взаимоотношение комплексов пород и установлены мощности стратиграфических единиц. Отложения до-

кембрия были разделены им на нижнеизвестняковый, среднеизвестняковый и верхнеизвестняковый отделы с последующим разделением их на свиты. Среди кембрийских отложений выделяются нижний, средний и верхний отделы.

В 1934 г. В. Ф. Федоровым по р. Ниж. Ослянке и по правому берегу р. Ангары (от д. Потоской до западной границы листа) проводились поисково-разведочные работы, в результате которых было открыто Мешковское месторождение магнезитов.

В 1939 г. при составлении геологической карты м-ба 1:1 000 000 для Южно-Енисейского кряжа Ю. А. Кузнецовым пройдены маршруты по берегам р. Ангары до д. Каменки. Ю. А. Кузнецова выделяет две формации, которые отличаются по составу, характеру складчатости и степени рассланцевания: нижняя доломитовая, почти отвечающая по своему содержанию среднеизвестняковому отделу, и верхняя доломитовая, примерно отвечающая верхнеизвестняковому отделу схемы С. В. Обручева.

В 1944 г. на правобережье р. Ангары от д. Бык и до пос. Мотыгино поисково-съемочные работы проводились Иорильским комбинатом. П. И. Прокофьевым была составлена геологическая карта м-ба 1:50 000, на которой выделены свиты по схемам А. К. Мейстера и С. В. Обручева.

В 1946 г. маршрутные геолого-стратиграфические исследования по рр. Ангаре, Каменке и Енде проводились Г. И. Кириченко от ВСЕГЕИ.

В 1951 г. под редакцией Г. И. Кириченко изданы геологическая карта и карта полезных ископаемых м-ба 1:1 000 000 листа О-46 и объяснительные записки к ним.

В 1946 г. в бассейне р. Ниж. Ослянки В. И. Медведковым было открыто Нижне-Ангарское месторождение гематитовых руд осадочного генезиса. Это открытие положило начало планомерному изучению восточной части Енисейского кряжа.

С 1947 по 1949 г. поисково-съемочные работы проводились А. К. Рублевым в бассейнах рр. Удоронги, Паренды и устья р. Удерей и Ф. Я. Паном по рр. Ангаре и Каменке. Ими была предложена следующая стратиграфическая схема, которая принята в настоящее время как рабочая основа стратиграфических построений для докембрийских отложений восточной части Енисейского кряжа (снизу вверх):

1. Погорюская свита
2. Свита Карточки
3. Аладынская свита
4. Потоскайская свита
5. Киргитейская свита
6. Нижнеангарская свита
7. Дацкинская свита

Кембрийские отложения разделяются на терригенную и карбонатную толщи.

В 1947 г. в бассейнах рр. Кокуя и Пая поиски каменных углей от треста «Востсибулгегеология» проводил С. Ф. Булацель, обнаруживший каменные угли по р. Паю среди продуктивной толщи пермо-карбона, которая подразделена им на три горизонта.

В 1947 г. в пределах Енисейского кряжа и Сибирской платформы опытную аэромагнитную съемку м-ба 1:200 000 проводила А. П. Майборода. В результате была установлена возможность выявления основных черт геологического строения, а также площадей, перспективных в отношении поисков магнитных руд. На р. Моктыгиной была выявлена полоса положительных аномалий, предположительно отображающая зону нарушения.

В 1948 г. с целью изучения стратиграфии докембрийских отложений юго-восточной окраины Енисейского кряжа А. В. Третьяковым проводились геологические исследования по рр. Ангаре, Каменке и их притокам. По изменению петрографического состава пород отложения докембрия, расположенные выше удерейской свиты, автором разделены на три седиментационных цикла. В 1949—1950 гг. в районе Кокуйского каменноугольного месторождения Б. А. Аркадьевым и А. В. Пименовой были проведены электроразведочные

и магнитометрические работы м-ба 1:100 000 и 1:50 000, которыми установлены структурные особенности района и выявлены угленосные отложения по рр. Червяковой, Белой и Кокую, прослежены пласти каменного угля на участке «Листвянский».

В 1951 г. в бассейнах рр. Кокуя и Пая поисковые работы от Ангарской геологоразведочной партии проводились И. А. Санжарой, который выделил отложения кембрия и пермо-карбона нерасчлененные. Последние интенсивно инъецированы телами траппов.

В 1955 г. А. Д. Левченко проводились поиски каменных углей по р. Лучник и руч. Глухариному. Им были выделены кембрийские, пермо-карбоновые отложения (нерасчлененные) и траппы. В результате поисков были обнаружены пласти углей по р. Лучник и руч. Глухариному.

В 1951 г. по рр. Ангаре и Каменке геолого-геоморфологические исследования при поисках алмазов проводились Ю. П. Казакевичем. Ю. П. Казакевич выделяет отложения докембрия и кембрия и два комплекса речных террас — низкий и высокий.

В 1952 г. М. В. Агафоновым от Северной экспедиции «Енисейстрой» на Кокуйском каменноугольном месторождении проводились гамма-каротаж, эманационная съемка и радиометрия горных выработок. Уран и редкоземельные элементы на месторождении не обнаружены.

В 1953 г. партией Северной экспедиции «Енисейстрой» по берегам р. Ангары (от Косой шиверы до пос. Мотыгино) проводились поиски урана и редкоземельных элементов. На структурно-геологической карте м-ба 1:100 000, составленной О. С. Менделеевым и Д. А. Лобановым, отложения протерозоя и кембрия разделены на свиты. Урановые и редкоземельные проявления партией не обнаружены.

В 1951 г. по заявке треста «Востсибулгегеология» в верховьях рр. Большой Родины, Средней Родины, Пая и Пальтьети Ангарской геологоразведочной партии проводилась магнитометрическая съемка в комплексе с электропрофилированием. На основании этих работ А. А. Быстрицким по характеру магнитного поля выделены породы осадочного и изверженного комплексов и установлено, что магнитное поле над изверженными породами имеет неспокойный характер с чередованием положительных и отрицательных значений без видимой закономерности.

В 1955 г. на левобережье нижнего течения р. Каменки маршрутные исследования проводились Л. М. Плотниковым и Г. Н. Таловой, которыми выделены отложения докембрия и кембрия. В полосе развития карбонатных пород кембрия были обнаружены гальки бокситов. В 1956 г. этими авторами изучался разрез по левому берегу р. Ангары от д. Маньзи до р. Кокуй.

В 1957 г. на водораздельном пространстве рр. Аладыни, Моктыгиной и Меньзи поиски и опробование каменных углей проводились Н. А. Чудаковым, которым выделены отложения каменноугольной системы (средний и верхний отделы) и траппы, а также выявлены угленосные участки.

В 1957 г. А. Д. Руденко и Р. Я. Скляров проводили поиски бокситов и других полезных ископаемых в бассейнах рр. Аладыни, Маньзи и Мал. Пинчуги. Авторами выделяются протерозойские, кембрийские и пермо-карбоновые отложения с разделением их на свиты и описываются траппы. Из полезных ископаемых отмечены: гальки бокситов, обломки магнетитов,рудо-проявления меди и никеля, проявления сидерита.

В 1957 г. Енисейской аэромагнитной экспедицией (Е. А. Каспарова) в центральной части Красноярского края, в том числе и на площади листа О-46-XVII, проводилась аэромагнитная съемка м-ба 1:200 000, которой установлены характеристики различных типов магнитного поля и общие представления о тектоническом строении района. В пределах исследуемого листа аэромагнитной съемкой выделяются наиболее крупные структуры — складчатая область Енисейского кряжа, передовой прогиб и Тасеевская синеклиза. В 1958 г. аэромагнитными и аэродиагностическими работами м-ба 1:25 000, проведеными партией № 821 Березовской экспедиции (Массов, 1959) севернее р. Ангары, была выявлена повышенная радиоактивность на р. Дерюнге, где впоследствии были проведены наземные гамма-поиски (радиометрия,

уранометрия и радиогидрология), которые дали отрицательные результаты. В том же году Ангарской геофизической партией между р. Маньзей и р. Аладиной проводились магнитометрические работы, в процессе которых было выявлено магнетитовое рудопроявление на р. Лучик (Вдовиченко, 1959).

С 1958 по 1961 г. поисково-съемочными партиями Ангарской геологоразведочной экспедиции составлены геологические карты листов О-46-А, Б, В, Г в м-бе 1 : 50 000. М. С. Смирновым и П. П. Ситниковым была уточнена и дополнена стратиграфия докембрийских отложений, выделены отложения кембрия и неогена. В 1959 г. поиски магнетитов на р. Лучик от Ангарской геологоразведочной экспедиции проводились А. Я. Парунином и З. И. Афанасьевой. Поисковыми работами были обнаружены маломощные тела и мелкие обломки магнетитов из аномалиях, выявленных Ангарской геофизической партией в 1958 г. В 1961 г. В. С. Быкадоровым были обобщены результаты геологоразведочных работ, проведенных с 1949 по 1956 г. на Кокуйском каменноугольном месторождении. Им произведен подсчет запасов каменных углей, которые приняты ГКЗ.

С 1959 по 1961 г. с целью составления геологической карты листа О-46-XVII проводились геологосъемочные работы м-ба 1 : 200 000 Потоскайской партией (Б. В. Шибистов). Данные работ Потоскайской партии и геологической съемки м-ба 1 : 50 000 легли в основу геологической карты и карты полезных ископаемых и настоящей объяснительной записки. Территория листа покрыта шлиховым и металлогеографическим опробованием в соответствии с требованиями к масштабам съемок. В процессе работ использовались материалы аэрофотосъемки м-ба 1 : 30 000. Дешифрируемость снимков удовлетворительная для северной части района и плохая для южной.

### СТРАТИГРАФИЯ

В геологическом строении территории листа О-46-XVII принимают участие отложения докембра и палеозоя. Докембрийские образования слагают северную и северо-западную части изученной территории. Палеозойские отложения развиты в основном к югу от р. Ангари.

Наиболее древними являются карбонатно-терригенные породы синийского комплекса, сложно дислоцированные и слабо метаморфизованные. Среди них в пределах листа развиты отложения свиты погорюйской, карточки, аладинской, потоской, шунтарской, киргитецкой, нижнеангарской и дашкинской. Согласно легенде для геологических карт м-ба 1 : 200 000 (енисейская серия), отложения от горбикской до дашкинской свиты включительно относятся к синийскому комплексу на основании определения абсолютного возраста погорюйской свиты (1140 млн. лет) и буровой свиты Туруханского района, сопоставляемой с шунтарской свитой (925 млн. лет), и изучения палеонтологических данных (строматолитов и проблематики). Синийские отложения со структурным несогласием перекрываются преимущественно терригенными отложениями тасеевской серии, на которых согласно залегают карбонатные породы нижнего кембрия. Нижнекембрйские отложения со структурным несогласием перекрываются верхнекембрйскими и верхнепалеозойскими отложениями, между которыми в свою очередь существует угловое несогласие. Породы пермо-карбона содержат комплекс ископаемой флоры, спор, пыльцы и фауны пресноводных пелагиопод и интрудированы траппами.

Докембрйские и палеозойские отложения перекрыты рыхлыми кайнозойскими образованиями.

### СИННИЙ КОМПЛЕКС

#### Сухопотская серия

#### ПОГОРЮЙСКАЯ СВИТА (Sn pg)

Отложения погорюйской свиты развиты по правому и левому берегам р. Ангари в районе устьев рр. Верх. Осяники и Аладиной и по правому берегу р. Ангари ниже скалы Мешки.

Свита сложена моногенной толщей песчано- и алеврито-глинистых сланцев с отдельными прослойками и линзами кварцевых сливных песчаников и реже аргиллитов незначительной мощности. Песчаный материал в отложениях свиты распределен более или менее равномерно по стратиграфическому разрезу. Мощность прослоев песчаника от 1 до 3—5 м. Окраска пород свиты однообразная, серая, пелитовые прослон имеют более темную, а алеврито-песчаные — более светлую окраску. Слоистость косая, прерывистая, ритмичная, тонкая. Характерно обильное чешуйки слюды по плоскостям наслаждения, включения пирита, трещины усыхания, заполненные песчано-глинистым материалом, знаки ряби. Вся толща пород погорюйской свиты интрудирована маломощными (до 5—10 см) секущими, реже послойными жилками молочно-белого кварца.

Глинистые сланцы состоят из пелитовых глинистых частиц и чешуйки хлорита и сернита с резко подчиненным количеством мельчайших зерен кварца. Алеврито- и песчано-глинистые сланцы состоят в основном из микроскопических зерен кварца, микрочешуйки сернита и хлорита и реликтового пелитового глинистого материала. Текстура пород сланцеватая, структура микролепидобластовая и бласто-пелитовая. Чешуйки сернита и хлорита ориентированы по слоистости. Кварцитовидные песчаники состоят из зерен кварца размером 0,1—0,3 мм с остаточным железистым цементом. Текстура пород массивная, структура гранобластовая. Мощность вскрытой части свиты не превышает 400 м.

### Тунгусская серия

#### СВИТА КАРТОЧКИ (Sn kr)

Отложения свиты Карточки довольно широко развиты вдоль берегов р. Ангари от устья р. Тальца до западной границы района и на правобережье р. Каменки выше устья руч. Верх. Мутовки. На отложениях погорюйской свиты они залегают согласно.

Свита Карточки представлена серовато-зелеными, буровато-зелеными, серыми, светло-зелеными и фиолетовыми известняками, глинистыми известняками и известково-глинистыми сланцами. Породы свиты ровноплитчатые, часто с отчетливой прямой слоистостью.

Известковистые аргиллиты и известняки являются основными разновидностями пород свиты. Известковистые аргиллиты сложены криптокристаллическим кальцитом с тонкими прослойками и линзами глинистого материала, сернита, хлорита и очень мелких зерен кварца. В качестве примеси встречаются зерна турмалина и рудного минерала. Известняки состоят из криптокристаллических образований карбонатов с включениями пелитового материала, зерен кварца и полевых шпатов. Участками видны чешуйки хлорита и сернита. Параллельное расположение прослоев глинистого материала обуславливает тонкослоистую текстуру.

Наиболее полный разрез отложений свиты карточки наблюдается на правом берегу р. Ангари, в 5 км выше устья р. Верх. Осяники (снизу вверх):

1. Известковистые аргиллиты серовато-зеленого и зеленовато-серого цвета, ровноплитчатые, в нижней части пачки с примесью песчанистого материала .	80	"
2. Зеленовато-серые глинистые известняки и известняки, плотные, скрытокристаллические, тонкоплитчатые, слоистые .	120	"
3. Зеленые и фиолетовые известняки, переслаивающиеся между собой. Мощность прослоев тех и других различна (от сантиметров до нескольких десятков метров), пересланывание их ритмично .	200	"
4. Темно-серые слоистые тонко- и среднеплитчатые известняки .	50	"
Общая мощность отложений свиты в этом разрезе достигает 450 м.		
На правом берегу р. Ангари у Аладинской шиверы наблюдается следующий разрез свиты (снизу вверх):		

1. Зеленовато-серые известковистые аргиллиты, тонкоплитчатые, слоистые .	175—185 м
2. Известняки серые и зеленовато-серые с прослойками зеленых известняков, тонкослоистые .	80 "
3. Известковистые аргиллиты фиолетового цвета, слоистые .	8 "
4. Фиолетовые и зеленые известняки и глинистые известняки, ритмично переслаивающиеся между собой. Мощность слоев различной окраски в пределах первых сантиметров .	85 "
5. Известняки фиолетово-серые, глинистые, с редкими и тонкими (1—2 см) прослойками зеленых известняков .	25 "
6. Зеленые тонкоплитчатые тонкослоистые известняки .	6 "
7. Серо-фиолетовые и зеленые известняки, переслаивающиеся между собой .	10 "

Мощность отложений свиты в этом разрезе 390—400 м.

Ниже скалы Мешки на правом берегу р. Ангары обнажаются зеленые и зеленовато-серые известняки и глинистые известняки. Фиолетовые разности пород отсутствуют. Мощность 350 м.

В породах свиты широко развиты прожилки молочно-белого кальцита.

Из-за весьма характерного облика пород свиты она служит маркирующим горизонтом при геологическом картировании.

#### Тунгусская серия

##### АЛАДЫНСКАЯ СВИТА (Sn al)

Отложения свиты выходят на дневную поверхность по берегам р. Ангары выше устья руч. Зиргулей, в 5—6 км выше устья р. Верх. Ослянки, в районе Аладынской шиверы, в скале Мешки, а также на правобережье р. Каменки выше устья р. Верх. Мутовки, по р. Енде и ее левому притоку р. Аке, по р. Верхотурке и руч. Быковскому. На отложениях свиты карточки они залегают согласно.

Аладынская свита слагается доломитами в основном серой, реже темно-серой, белой и желтоватой окраски. Доломиты мелко- и тонкокристаллические, массивные, плотные. Среди них встречаются брекчиивидные разности, вероятно, седиментационного происхождения. В доломитах часты скопления магнезита в виде жилок, гнезд и иногда тел, в некоторых случаях достигающих промышленных размеров (Быковское, Верхотурское и Мешковское месторождения магнезитов), и жильного доломита.

Разрез свиты вскрывается по правому берегу р. Ангары в 6 км выше устья р. Верх. Ослянки (снизу вверх):

1. Брекчиивидные доломиты . . . . .	12 м
2. Доломиты темно-серые, до серых, массивные и плитчатые, тонкокристаллические, с неясной слоистостью . . . . .	83 "
3. Доломиты серые, тонкокристаллические, массивные . . . . .	45 "
4. Слоистые, плитчатые доломиты с темно-серыми и почти белыми слоями. Пачка обнажена с перерывами. Мощность пачки . . . . .	около 110 м
Мощность отложений свиты около 250 м.	

В обнажениях у Аладынской шиверы наблюдается следующий разрез отложений свиты (снизу вверх):

1. Доломиты темно-серого и светло-серого цвета с многочисленными гнездами кальцита, кристаллического доломита и магнезита . . . . .	90 м
2. Доломиты массивные светло-серой окраски . . . . .	100 "
3. Массивные доломиты серого цвета с полосами и линзами крупнокристаллических доломитов и магнезита мощностью до 1 м . . . . .	135 "
4. Серые мелкозернистые доломиты с неясной слоистостью . . . . .	150—160 "
Мощность свиты в этом разрезе около 380 м.	

На других участках распространения свиты по отдельным обнажениям и высыпкам устанавливается также сходный разрез отложений свиты.

Доломиты состоят из зерен доломита и имеют мозаичную структуру, разности их отличаются по крупности зерен. Окраска зерен серая. Отмечается вкрапленность рудного минерала. Текстура массивная или полосчатая.

Магнезиты характеризуются крупнозернистой структурой и массивной текстурой. Сложены они зернами магнезита вытянутой, реже изометричной формы с резко выраженным псевдохроизмом. Присутствуют чешуйки мусковита и зерна рудного минерала.

#### ПОТОСКУЛЬСКАЯ СВИТА

Отложения потоскульской свиты широко развиты в приангарской части площади листа О-46-XVIII и в бассейне р. Каменки. На отложениях аладынской свиты они залегают согласно. По литологическому составу в пределах изученной территории свита разделяется на две подсвиты: нижнюю — терригенную и верхнюю — терригенно-карбонатную.

#### НИЖНЕПОТОСКУЙСКАЯ ПОДСВИТА (Sn pt<sub>1</sub>)

Подсвита сложена сланцами, преимущественно глинистыми, иногда с прослойками песчаников. Сланцы темно-серые, иногда в результате выветривания они приобретают зеленую и красно-бурую окраску.

Вниз от устья руч. Зиргуляя по правому берегу р. Ангары вскрывается полный разрез подсвиты. На доломитах аладынской свиты согласно залегают тонкослоистые глинистые сланцы темно-серого цвета с прослойками и линзами кварцевых мелко- и среднезернистых песчаников темно-серого цвета. Выше по разрезу залегают переслаивающиеся между собой темно-серые глинистые сланцы и буровато-зеленые аргиллиты с порами, заполненными окислами железа. Среди сланцев присутствуют прослои песчаников мощностью 0,5—1 м. Мощность подсвиты 120 м.

Аналогичный характер отложений подсвиты устанавливается по мелким обнажениям на правом склоне долины р. Каменки выше устья р. Верх. Мутовки.

В западной части площади листа горными выработками вскрыта толща глинистых сланцев с полосчатой текстурой, обусловленной перемежаемостью слоев темно-серой, серой, темно-красной и голубоватой окраски мощностью до 600—700 м, которая также сопоставляется с нижнепотоскульской подсвิตой.

#### ВЕРХНЕПОТОСКУЙСКАЯ ПОДСВИТА (Sn pt<sub>2</sub>)

Отложения верхнепотоскульской подсвиты представлены карбонатными породами, которые имеют широкое распространение в участках, прилегающих к долинам рр. Ангары и Каменки. Наибольшая мощность этих отложений наблюдается в восточной части района, где она достигает 700—800 м. К северу и западу происходит фаунистическое замещение карбонатного материала терригенным, и в западной части площади листа О-46-XVIII в верхнепотоскульскую подсвите условно выделена толща бурых и серо-зеленых аргиллитов мощностью около 300 м, соответствующая по стратиграфическому положению верхней части карбонатной толщи.

Наиболее полный разрез верхнепотоскульской подсвиты наблюдается на правом берегу р. Ангары выше устья р. Каменки (снизу вверх):

1. Розовато-серые доломиты . . . . .	40 м
2. Пачка красных и зеленых водорослевых известняков, переслаивающихся между собой. Мощность слоев около 1 м . . . . .	70 "
3. Темно-серые, до черных, битуминозные известняки и доломиты . . . . .	15—20 "
4. Толща серых, светло-серых, темно-серых и розовато-серых доломитов с обильными водорослями. Водоросли в основном типа <i>Collenia</i> и <i>Coprophytum</i> . . . . .	600 "

Основными литологическими разностями пород свиты являются глинистые сланцы, аргиллиты, песчаники, известняки и доломиты.

Глинистые сланцы характеризуются бластопелитовой или микролепидобластовой структурой, сланцеватой, иногда слоистой текстурой, состоят из небольшого количества реликтовых пелитовых глинистых частиц, мелких чешуек хлорита и серицита с примесью микроскопических зерен кварца. Аргиллиты состоят из тонкочешуйчатой серицит-хлоритовой массы и пелитового глинистого материала с незначительным количеством мельчайших зерен кварца; структура алевропелитовая. Песчаники сложены зернами кварца, обладают псаммитовой структурой с цементом соприкосновения. Известняки и доломиты характеризуются неравномернозернистой мозаичной структурой, размеры зерен карбонатных минералов в пределах от 0,05 до 2 мм, форма зерен ромбическая, реже изометрическая и неправильная. Иногда присутствуют чешуйки серицита. Породы рассечены прожилками кристаллического кальцита и доломита. Для всех разновидностей пород характерно присутствие рудного минерала и окислов железа.

Нижне- и верхнепотоскайская подсвиты соответствуют красногорской и джурской свитам схемы Г. И. Кириченко. Однако, как показали работы ряда геологов (Рублев, 1950; Елхов, 1959; Шибистов, 1961), указанные подразделения не представляют собой самостоятельных свит, а составляют одну свиту — потоскайскую.

Общая мощность отложений свиты составляет 800—1000 м.

#### ШУНТАРСКАЯ СВИТА ( $S_n$ зп)

На площади листа О-46-XVIII отложения свиты, кроме района шиверы Шунтар, где они были впервые выделены С. В. Обручевым, распространены в районе нижнего течения р. Каменки, в прианггарской части района и в бассейнах верхнего течения рр. Верх. Осянки и Ниж. Осянки. Породы шунтарской свиты согласно залегают на породах потоскайской свиты.

Наиболее полные разрезы отложений свиты наблюдаются по р. Каменке в районе устьев рр. Тонги и Енды, по р. Ангаре в районе шиверы Шунтар.

Свита сложена темно-серыми и черными глинистыми, «углисто»-глинистыми сланцами и темно-серыми до черных известково-глинистыми сланцами и известняками. Глинистые сланцы залегают в основании свиты, выше лежат известково-глинистые сланцы и тонкоплитчатые известняки. «Углисто»-глинистые сланцы характерны для верхней части разреза свиты. Разрез заканчивается глинистыми сланцами темно-серого и зеленовато-серого цвета. В сланцах часто развит хлоритоид, наблюдаются скопления пирита, присутствуют тонкие прослойки песчаников, алеврито-глинистых сланцев и «караван» известняков.

Глинистые сланцы сложены пелитовым и кварцевым материалом со значительным количеством чешуек хлорита и серицита. В «углисто»-глинистых сланцах наблюдается примесь «углистого» материала, минералогическая природа которого не определена. В хлоритоидных сланцах, кроме пелитового материала, содержится до 70—75% хлоритоида. Известково-глинистые сланцы характеризуются равномерно рассеянными карбонатными зернами ромбовидной и изометрической формы. Структура сланцев пелитовая, бластиалевропелитовая, алевропелитовая, текстура сланцеватая. Известняки имеют криптоクリсталлическую структуру и сложены микрозернами кальцита, имеющими зубчатые линии ограничения.

Мощность отложений свиты от 600 до 1000 м.

#### КИРГИТЕПСКАЯ СВИТА ( $S_n$ кг)

Отложения свиты широко распространены в бассейнах рр. Каменки, Ниж. и Верх. Осянок и по берегам р. Ангары ниже шиверы Шунтар. Эти отложения залегают согласно на отложениях шунтарской свиты и характеризуются значительной мощностью и пестротой литологического состава. Свита

сложена доломитами, известняками, алеврито-глинистыми и глинистыми сланцами и песчаниками. В районе, прилегающем к долинам рр. Ангары и Каменки, свита отчетливо делится на три лиголово-фациональные пачки: нижнюю — карбонатную, среднюю — терригенную и верхнюю — карбонатную. Нижняя соответствует свите серого ключа, а средняя — дадыктинской свите схемы Г. И. Кириченко. По направлению к западу и северо-западу происходит фациальное замещение карбонатных отложений терригенными, и свита приобретает существенно терригенный характер.

В качестве разрезов, наиболее полно иллюстрирующих фациальные изменения свиты, можно привести разрезы по р. Ангаре и в бассейне р. Верх. Осянки.

По обоим берегам р. Ангары ниже шиверы Шунтар обнажаются серые, светло-серые и темно-серые, массивные доломиты, серые скрытокристаллические известняки с прослойками мергелей вверху толщи и серые доломиты, в верхней части водорослевые. Мощность толщи достигает 900 м. Выше залегает толща темно-серых алеврито-глинистых сланцев с прослойками желто-зеленых аргиллитов и желтоватых песчаников мощностью 400 м. Венчается разрез свиты толщей тонкоплитчатых темно-серых известняков и доломитов с прослойками водорослевых известняков. Мощность толщи 600 м.

В бассейне р. Верх. Осянки (Смирнов, 1961) в нижней части свиты залегает толща доломитов и известняков серого, темно-серого и черного, иногда лилово-серого цвета и алеврито-глинистых сланцев серого цвета. Максимальная мощность карбонатных отложений достигает 550 м в восточной части бассейна, по направлению к западу они полностью замещаются терригенными образованиями. Выше лежат алевритовые и алеврито-глинистые сланцы с прослойками песчаников. Сланцы желтовато- и лилово-серые, бурые и серые. Мощность от 160 м на востоке до 400 м на западе района. Далее вверх по разрезу следуют глинистые сланцы зеленовато-серого, палевого и лилового цвета с 60-метровой пачкой известково-глинистых сланцев, мергелей и известняков темно-фиолетового и фиолетового цвета мощностью 60—165 м, глинистые сланцы темно- и зеленовато-серого цвета, иногда с хлоритоидом, с прослойками кварцевых песчаников мощностью 160—280 м и глинистые сланцы серой, лиловой, зеленовато-серой и желтой окраски, пористые, с прослойками песчаников в нижней части пачки; мощность верхней толщи 680—480 м; среди сланцев наблюдаются линзовидные прослои карбонатных пород мощностью до 90 м.

В бассейне р. Мал. Дашки, у западной границы исследованного района, в нижней части свиты карбонатные отложения отсутствуют, они фациально замещены зеленовато-бурыми, серыми и красноватыми полосчатыми глинистыми сланцами. В целом разрез свиты соответствует разрезу ее в бассейне р. Верх. Осянки.

Микроскопическое исследование сланцев показывает довольно однообразный их состав. Они состоят из тонкочешуйчатого серицито-хлоритового и глинистого агрегата, в алевритовых разностях присутствуют прослои со значительным количеством алевритовых зерен кварца. Структура пород бластопелитовая и микролепидобластовая.

В сланцах, содержащих хлоритоид, наблюдается порфиробластовая структура, возникающая в результате беспорядочно ориентированного расположения кристаллов хлоритоида пластинчатой формы.

Большинство разновидностей известняков свиты имеет криптокристаллическую структуру. В качестве примесей к кальциту, составляющему основную массу породы, присутствуют алевритовые зерна кварца, ромбоэдры доломита, включения глинистого вещества и хлорита. Иногда встречаются чистые разности известняков, состав которых весьма близок к теоретическому составу кальцита. Доломиты сложены почти нацело доломитом, среди которого встречаются единичные зерна кварца, рудного минерала, мельчайшие чешуйки мусковита и кальцит. Структура доломитов большей частью мелкокристаллическая. Кварцевые песчаники состоят из полуокатанных зерен кварца размером 0,1—0,3 мм. Структура псаммитовая, участками регене-

рационная. Цемент заполнения замещен хлоритом, кварцем и превращен в цемент разрастания.

Мощность отложений свиты в приангарской части листа, видимо, за счет широкого развития карбонатных пород, достигает 2000 м, к северо-западу сокращается до 1400 м.

#### Ослинская серия

##### НИЖНЕАНГАРСКАЯ СВИТА (Sn na)

Отложения свиты узкой полосой протягиваются в бассейнах рек Верх. и Ниж. Ослинок, образуя на геологической карте почти замкнутый контур. В западной части района и за его пределами описываемые отложения залегают с незначительным размывом и угловым несогласием, не превышающим 1—2°, на породах киргизской свиты в восточной части залегание их согласное.

Наиболее полно разрез нижеангарской свиты представлен в северо-западной части листа, где свита делится на две пачки: нижнюю — рудноносную и верхнюю — надрудную. Рудноносная пачка сложена в основном песчаниками буровато-красного, вишнево-бурового, желтовато-серого, серого цвета, кварцевыми с глинистым, кварцевым и гематитовым цементом, нередко с рассеянными в породе гальками гематита. Среди песчаников встречаются прослои алевролитов и аргиллитов светло-серого цвета. Пласти гематитовых руд присутствуют как в нижней, так и в верхней частях разреза пачки, причем мощность пластов и содержание в них железа не выдержаны и резко изменяются на небольших расстояниях. Рудные пласти имеют мощность от 3 до 10 м. Постепенное уменьшение содержания железа и фациальное замещение рудных пластов песчаниками происходит с запада на восток. Мощность пачки 45—50 м.

Надрудная пачка сложена в нижней части кварцевыми песчаниками серого и розовато-серого цвета с прослойками светло-серых алевролитов и аргиллитов. В верхней части пачка представлена аргиллитами и алевролитами серого, желтого и оранжевого цвета с прослойками и линзами мелкозернистых кварцевых песчаников. Мощность надрудной пачки 275—350 м.

В бассейне р. Верх. Ослинок свита сложена серыми и светло-серыми кварцевыми песчаниками. В бассейне р. Бол. Даши она имеет также однородный литологический состав: сложена кварцевыми песчаниками светло-серого, серого и лилово-серого цвета с прослойками алевролитов и алеврито-глинистых сланцев.

Кварцевые песчаники являются основной породой, слагающей свиту. Состав их однообразен: они состоят из изометричных зерен кварца с примесью полевых шпатов, роговой обманки, циркона, серицита и хлорита. Структура пород псамитовая, цемент поровый. Руда хлорит-гематитовая, встречаются гравелитовые разности. Для пород свиты характерно наличие трещин усыпления.

Мощность отложений свиты меняется от 180 до 300—400 м.

#### Дашкинская свита (Sn ds)

Отложения дашкинской свиты широко распространены в бассейнах рр. Верх. и Ниж. Ослинок. Они согласно залегают на отложениях нижеангарской свиты.

Нижняя часть разреза свиты представлена мергелями, известково-глинистыми сланцами, аргиллитами и песчаниками преимущественно серовато-зеленой и желтой окраски. Верхняя более мощная часть свиты сложена темно-серыми, почти черными тонкоплитчатыми известняками с прожилками белого кальцита. Известники состоят в основном из зерен кальцита, в массе которого видны зерна кварца и полевого шпата, сгустки темного органического вещества, чешуйки слюды, хлорита и глинистого вещества. Иногда виден карбонат с ромбодрическим сечением, вероятно, доломит.

Мергели характеризуются переменным количеством известковистого материала, частицами гидрослюд, хлорита, кварца, полевых шпатов; иногда развиты тонкодисперсное глинистое вещество и органические примеси. Широкое развитие хлорита придает породе зеленоватую окраску, а органического вещества — черную.

Глинистые сланцы сложены пелитовым материалом с гидроокислами железа, чешуйками слюды и единичными зернами кварца. Песчаники состоят из зерен кварца и полевых шпатов на серицит-хлоритовом цементе. Структура песчаников псамитовая.

Мощность нижней части свиты составляет 200—300 м. Общая мощность дашкинской свиты достигает 2000 м.

Мощность отложений синийского комплекса на площади листа О-46-XVIII составляет 6200—7500 м.

#### СИНЬИЙ КОМПЛЕКС — КЕМБРИЙСКАЯ СИСТЕМА

##### Тасеевская серия

Отложения тасеевской серии широко развиты в левобережной части района, к югу от р. Ангара; на правобережье они распространены в бассейнах рр. Дерюнги, Енды, на северо-западе листа О-46-XVIII. Отложения тасеевской серии в бассейнах рр. Рыболовной, Аладынной граничат с отложениями синийского комплекса по разломам, на северо-западе листа и в бассейне рр. Дерюнги и Енды залегают на них со структурным несогласием. По решению совещания по стратиграфии отложений верхнего докембрия Сибири и Дальнего Востока (Новосибирск, 1962) тасеевская серия отнесена к верхам верхнего докембра и выделена в вендский комплекс. Совещание Постоянной комиссии по докембрю (Ленинград, март, 1963 г.) постановило считать эти образования верхнепротерозойскими, определив термин «венд» как термин свободного пользования. В настоящее время в записке и на геологической карте мы употребляем прежнее название и индексы тасеевской серии согласно утвержденной легенде для геологических карт м-ба 1 : 200 000 (Енисейская серия).

В тасеевской серии выделяются алешинская, чистяковская и мошаковская свиты, залегающие согласно друг на друге в их стратиграфической последовательности.

##### АЛЕШИНСКАЯ СВИТА (Sn — Сm, аš)

Алешинская свита сложена песчаниками красно-бурых, фиолетовых, вишнево-красной окраски, от мелко- до грубозернистых разностей, с прослойками гравелитов и красновато-коричневыми тонкослоистыми алевролитами и аргиллитами с обилием мелких чешуек слюды. Иногда в основании свиты лежат конгломераты.

В районе Выдумского Быка и в бассейне р. Пай породы алешинской свиты встречены в коренных обнажениях. Они представлены грубозернистыми песчаниками фиолетового цвета и красноцветными гравелитами с размером гравийных зерен до 0,5 см. Между Выдумским Быком и устьем р. Кокуй шурфами вскрыты обломки мелкозернистых песчаников вишнево-красного цвета. В бассейне р. Дерюнги алешинская свита представлена в основном красно-бурыми аргиллитами с обилием мелких чешуек слюды по плоскостям слоистости.

Наиболее полный разрез алешинской свиты получен в результате бурения на северо-западе листа О-46-XVIII:

1. Конгломераты пестроокрашенные, состоят из галек лиловых и фиолетовых аргиллитов, темно-серых мелкозернистых песчаников, и реже хлорит-гематитовой руды. Цемент конгломерата песчанистый . . . 14,6 м

2. Песчаник буровато-серый с лиловым оттенком, кварцево-полевошпатовый, от средне- до грубозернистого, с прослойками алевролитов

и аргиллитов шоколадного цвета. Вверх по разрезу мощность аргиллитовых прослоек увеличивается . . . . . 59,3 „

3. Аргиллит шоколадного, реже голубовато-серого цвета, тонкослоистый, слюдистый, известковистый, с тонкими прожилками кальцита . . . . . 13,3 „

Мощность алешинской свиты изменяется от 87 м на севере до 400—500 м на юге территории листа.

#### ЧИСТЯКОВСКАЯ СВИТА (Sn — Ст<sub>1</sub>; съ)

Чистяковская свита слагается в основном серыми, светло-серыми, иногда почти белыми, зеленоватыми песчаниками, алевролитами и аргиллитами, включающими прослои карбонатных пород. В отдельных разрезах в составе свиты имеются внутриинформационные конгломераты.

В северо-западном углу района буровой скважиной вскрыт непрерывный разрез отложений чистяковской свиты:

1. Песчаники серые, темно- и зеленовато-серые, кварцевые, среднезернистые, косослонистые, с тонкими прослойками аргиллитов черного и шоколадного цвета . . . . . 6,4 м

2. Пересланение песчаников и известняков. Известняки серые, скрытоизоморфические, глинистые; массивные. Песчаники серые, голубовато-серые, среднезернистые, кварцевые, на глинисто-карбонатном цементе . . . . . 15,6 „

3. Тонкое пересланение песчаников, алевролитов и аргиллитов. Слонистость неправильная, косая и прерывистая. Песчаники серые и голубовато-серые, мелко- и среднезернистые, кварцевые, слюдистые; алевролит обычно коричневый, реже серый, аргиллит шоколадного цвета, неслойистый. Мощность . . . . . 62,3 „

В районе Выдумского Быка на левом берегу р. Ангары обнажаются се-рые среднезернистые грубослоистые песчаники, в 300 м выше по течению — пересланение серых песчаников и известковых доломитов. Еще через 250 м выше по течению р. Ангары встречены конгломераты, состоящие из галек доломитов и известняков, сцементированных кварцевым песчанистым материалом с примесью глинисто-карбонатного. Окраска конгломератов серая.

На остаточной территории своего распространения породы чистяковской свиты наблюдаются в шурфах и делювии. Характер их аналогичен характеру отложений в описанных выше разрезах.

Мощность отложений чистяковской свиты на севере 85 м, а на юге пло-щади листа 300—450 м.

Сопоставление разрезов по различным районам Енисейского кряжа по-казывает, что в чистяковской свите по мере продвижения с юга на север происходит замещение терригенного материала карбонатным (Шибистов, 1961).

#### МОШАКОВСКАЯ СВИТА (Sn — Ст<sub>1</sub>; ms)

Мошаковская свита слагается кирпично-красными, коричнево-красными и бурыми песчаниками, алевролитами и аргиллитами с прослойками гравелитов и иногда внутриинформационных конгломератов.

В левобережье р. Ангары горными работами вскрыта мощная толща песчаников красно-бурового, вишнево-красного и кирпично-красного цвета, мелко- и тонкозернистых, с обилием чешуек слюды на плоскостях напластования и включениями глинистого материала. Мощность толщи 500 м.

По р. Аладыгиной обнажаются песчаники кирпично-красные и красновато-серые, мелкозернистые, слюдистые, с тонкими прослойками аргиллитов и алевролитов. Иногда отмечаются волноприбойные знаки.

В северо-западном углу района скважиной вскрыт непрерывный разрез отложений мошаковской свиты:

1. Алевролит коричневый, кварцевый, с мелкими чешуйками слюды, тонко переслаивающийся с аргиллитом шоколадного цвета. Редкие прослои светло-серого песчаника . . . . .	10,9 „
--	--------

2. Пересланение песчаников и алевролитов кварцевых красно-бурового цвета, слюдистых, неяснослоистых . . . . .	19,3 „
---	--------

3. Песчаник красно-буровый, разнозернистый, кварцевый, слюдистый; слонистость выражена чередованием различного гранулометрического состава и различной окраски пород . . . . .	35,1 „
--	--------

4. Конгломерат крупногалечный, слабосцепментированный песчано-глинистым материалом . . . . .	16,9 „
--	--------

5. Песчаник, аналогичный описанному в пачке 3 . . . . .	41,7 „
---	--------

6. Аргиллит темно-бурового цвета, толстослоистый, слюдистый, песчанистый . . . . .	3,1 „
--	-------

7. Пересланение аргиллитов и песчаников. Аргиллиты буро-красные, тонкослонистые, песчанистые. Песчаники буровато-серые, кварцевые, слюдистые, на глинистом цементе . . . . .	31,3 „
--	--------

Мощность мошаковской свиты от 159 м на севере, до 300—500 м на юге района.

Микроскопическое изучение основных пород тасеевской серии показывает, что кварцевые песчаники сложены зернами кварца (90%), полевых шпатов (5—7%) (микроклин), остальная часть представлена единичными зернами микрокварцита, пироксена, чешуйками мусковита. Очень редко наблюдаются мелкие (0,1 мм) зерна ильменита и лейкоксена, являющегося вторичным. Цемент чаще всего поровый, представлен железистым, глинисто-железистым или известковистым материалом. Текстура массивная и иногда слоистая. В алевролитах иногда наблюдается косая слонистость и волноприбойные знаки. Обломочный материал имеет размер 0,09—0,07 мм и меньше. Алевритовый материал угловатый, слабоокатанный и состоит на 96—98% из кварца, редких зерен полевых шпатов и листочков слюды. Цемент железистый, базального типа, составляет около 50% породы. Полевые шпаты подвергаются пелитизация, слюдистые минералы переходят в гидрослюды. В цементе наблюдается слабая хлоритизация. Структура пород алевролитовая, цемент базальный. Аргиллиты плотные, слонистые, иногда обогащены известковистым материалом.

#### ПАЛЕОЗОЙСКАЯ ГРУППА

##### КЕМБРИЙСКАЯ СИСТЕМА

###### Нижний отдел нерасчлененный (Ст<sub>1</sub>)

Нижнекембрийские отложения широко развиты в левобережной части района в бассейнах рр. Рыболовной, Тальца, Пая и Кокуя. На правобережье р. Ангары они распространены в бассейнах рр. Дерюнги, Прямой, Енды. На отложениях тасеевской серии они залегают согласно!

Отложения нижнего кембрая представлены известняками и доломитами преимущественно серой окраски с прослойками мергелей, аргиллитов, алевролитов и песчаников. Известняки имеют средне-, мелко- или микрокристаллическую структуру. Основная масса их сложена кальцитом с довольно значительным количеством глинистого материала. Структура доломитов мелко- и криптокристаллическая, состоят они из кристаллов доломита с хорошо выраженной спайностью по ромбозодру. В качестве примесей присутствует глинистый материал, единичные зерна кварца и рудного минерала. Местами породы пронизаны многочисленными кальцитовыми жилами.

По мнению А. А. Предтеченского (1960), отложения в Могдыгайской синклинали, отнесенные авторами к тасеевской серии, являются более поздними и по своему стратиграфическому положению соответствуют островной свите нижнего кембра. Нижнекембрийские отложения, по мнению указанного исследователя, залегают на отложениях тасеевской серии со стратиграфическим перерывом.

Полный разрез отложений нижнего кембия вскрыт скважиной в северо-западном углу площади листа О-46-XVIII (снизу вверх):

1. Светло-серые известняки, бурые аргиллиты и буровато-серые кварцевые, слюдистые песчаники, переслаивающиеся между собой	32 м
2. Известники серые, доломитизированные, с прожилками кальцита и гипсом, выполняющим трещины; иногда встречаются пропластки известняковых брекций, сцепленных известковистым материалом	220 ..
3. Серые и темно-серые часто доломитизированные известняки, зеленовато-серые тонкослонистые мергели, красно-бурые слабо известковистые аргиллиты, и песчаники, переслаивающиеся между собой	90 ..
4. Известники темно-серые, буровато-серые, слабо глинистые, в верхней части пачки окремненные	106 ..

Общая мощность нижнего кембия в бассейне р. Прямой составляет около 450 м.

В левобережной части района мощность нижнекембийских отложений возрастает до 2000 м. Здесь достаточно полно обнажена нижняя часть разреза. По р. Аладьиной в ее среднем течении обнажаются (снизу вверх):

1. Глинистые доломиты серовато-желтого и серого цвета	4 м
2. Песчаники кварцевые, мелкозернистые, рыхлые, желтой окраски, мощность 1,2 м. От подстилающих и перекрывающих пород песчаники отделены маломощными (0,2 м) пачками переслаивающими алевролитами и глинистыми доломитами	..
3. Глинистые доломиты, аналогичные доломитам первого слоя, с линзами кварцевого песчаника	4—5 ..
4. Светло-серые тонкоплитчатые глинистые доломиты, известковистые аргиллиты желтовато-серого цвета и красновато-коричневые слюдистые алевролиты с линзочками кварцевого песчаника, ритмично переслаивающиеся между собой	6—8 ..
5. Глинистые доломиты с прослоем кварцевых мелкозернистых песчаников желтого и белого цвета	1,2—1,5 ..
6. Светло-серые плитчатые доломиты, прослоями битуминозные	5—6 ..

Мощность нижней пачки 20—25 м.

Характер более высоких частей разреза устанавливается по отдельным коренным обнажениям, шурфам и делювиальным высыпкам. Средняя часть его представлена ритмично переслаивающимися массивными и плитчатыми известняками и доломитами, мощностью свыше 400 м. Разрез заканчивается мощной толщей массивных известняков и доломитов, брекчиивидных известняков, состоящих из полуокатанных и остроугольных обломков известняков, сцепленных карбонатно-глинистым цементом. В толще присутствуют различной мощности прослои битуминозных известняков, мергелей, аргиллитов и песчаников. Мощность ее около 1500 м.

Общая мощность отложений нижнего кембия в левобережной части района около 2000 м.

Средняя часть разреза нижнего кембия соответствует по своему стратиграфическому положению фаунистически охарактеризованной толще бассейна р. Муриной, где в отложениях нижнего кембия была найдена фауна трилобитов — *Bulaiaspis* sp. и *Pagetiellus* sp. и археоцит *Aiacicyathus* sp., характерных для отложений нижнего кембия Сибирской платформы (К. Ш. Яркаев, 1959 г.).

### Средний — верхний отдел

#### ЭВЕНКИЙСКАЯ СВИТА ( $Cm_{2-3}ev$ )

Отложения, относимые к эвенкийской свите, на площади листа имеют ограниченное распространение. Они встречены на водоразделе рр. Рыболов-

ной и Аладьиной, в верхнем течении р. Пай и в среднем течении р. Аладьиной. На отложениях нижнего кембия они залегают со структурным несогласием.

Эвенкийская свита сложена довольно разнообразным комплексом пород. В основании свиты залегает толща конгломератов, состоящих из галек кварцитов, кварцевых песчаников, доломитов, известняков, глинистых сланцев и жильного кварца, сцепленных известково-глинистым материалом. Размеры и степень окатанности обломочного материала различны. Мощность толщи конгломератов на водоразделе рр. Рыболовной и Аладьиной около 50 м.

Выше залегают известняки, переслаивающиеся с аргиллитами и пестроцветными песчаниками. Известняки серые, светло-серые, зеленые с желтоватым оттенком, тонкоплитчатые, пронизаны прожилками молочно-белого кальцита, обладают мелкокристаллической, криптокристаллической и микрокристаллической структурой, часто содержат гидроокислы железа и тонкорассиянное глинистое вещество. Песчаники красной и зеленой окраски различных оттенков, тонкозернистые с мелкими дендритами окислов марганца по плоскостям наслаждения, основной материал представлен кварцем, в большом количестве присутствуют полевые шпаты. Из аксессуаров минералов присутствуют зеленый турмалин, циркон, гранат и апатит. Зерна хорошо окатаны. Цемент глинисто-карбонатный, структура пород псаммитовая. Аргиллиты известковистые, окраска их красно-коричневая.

### КАМЕНОУГОЛЬНАЯ СИСТЕМА

Отложения каменноугольной системы, представленные нижним отделом — тушамской свитой, средним и верхним отделами листвянинской свитой, развиты на большой площади к югу от р. Ангари. Они залегают со структурным несогласием на отложениях нижнего кембия. Между отложениями верхнего кембия и карбона существует угловое несогласие. Наиболее полно разрез каменноугольных отложений изучен при разведке Кокуйского каменноугольного месторождения.

### Нижний отдел

#### ТУШАМСКАЯ СВИТА ( $C, ls$ )

Отложения тушамской свиты, выделенные на территории листа О-46-XVIII Ю. К. Горецким и Н. Г. Калмыковым, имеют весьма ограниченное распространение. Они развиты в районе Кокуйского каменноугольного месторождения (бассейны рр. Ямной и Муриной). В бассейнах средних течений руч. Федорова и р. Титешной они выклиниваются.

Основание свиты сложено кварцевыми песчаниками, аргиллитами и пачкой конгломератов. Конгломерат мелкогалечный, базальный, состоит из хорошо окатанных галек аргиллита, алевролита и известковистого песчаника. Цемент известковисто-глинистый. В крайней юго-западной части месторождения залегает конгломерато-брекция с гальками халцедона, с кремнисто-кальциевым цементом типа флинктелей. Песчаники желтовато-серые, белые, массивные и плитчатые, неравномернозернистые. В них наблюдается тонкая перемежаемость слоев различного гранулометрического состава, присутствие крупных обломков окремненной древесины и слабая сортировка обломочного материала. В песчаниках преобладает кварц, полевые шпаты, плагиоклазы и слюды. Цемент известковисто-глинистый и глинистый.

Средняя часть разреза представлена чередованием аргиллитов, углистых сланцев, алевролитов и кварцевых песчаников с одним маломощным (0,64 м) не выдержаным по простираннию пластом угля.

Аргиллиты темно-серые, слабо углистые, массивные и слоистые. Алевролиты серые, плотные, слоистые, прочность горизонтальная, линзовидная,

обусловленная обогащенным растительным детритом. Цемент пород углисто-слюдисто-глинистый и глинисто-карбонатный.

В верхней части разреза тушамской свиты залегает пласт светло-серого, плотного, каменистого, с шероховатым изломом флинтклей мощностью 1,9 м, который перекрывается углистыми сланцами и алевролитами. По данным микроскопических исследований, термических и рентгеноструктурных анализов флинтклей представлен в основном изотропным, иногда слабораскристаллизованным каолинитом с незначительной примесью гидрослюд.

По всему разрезу свиты в песчано-глинистых породах содержится значительное количество каолинита.

Максимальная мощность отложений тушамской свиты в юго-западной части месторождения составляет 50 м.

### Средний и верхний отделы объединенные

#### ЛИСТВЯЖНИНСКАЯ СВИТА ( $C_{2+3} ls$ )

Отложения листвяжнинской свиты развиты в бассейнах рр. Аладыиной, Моктыгиной, Пая и Кокуй. Детально разрез отложений листвяжнинской свиты изучен при разведке Кокуйского каменноугольного месторождения. Он представлен переслаиванием песчаников, алевролитов, аргиллитов, пластов каменного угля, углистых аргиллитов и углистых алевролитов.

Преобладающими породами в разрезе являются песчаники, алевролиты и аргиллиты, остальные разности пород имеют весьма подчиненное распространение, особенно углистые аргиллиты и углистые алевролиты. Углистые породы обычно лежат в кровле и подошве пластов угля, самостоятельные пачки встречаются редко.

Песчаники светло-серые, серые, буро-желтые, от тонко- до крупнозернистых, массивной текстуры. Обломочный материал сложен кварцем (70–90%), в подчиненном количестве присутствует полевой шпат (10–30%), биотит, мусковит, в виде единичных знаков встречаются и магнетит, апатит, гранат и др. Цемент глинисто-железистый.

Алевролиты зеленовато-серые, серые, желтоватые, текстура массивная, слоистая; слоистость обусловлена чередованием различных по цвету и размерам зерен прослойков, а также скоплением на плоскостях напластования углистых частиц.

Аргиллиты крепкие, серого, зеленоватого и желтоватого цвета, слоистой и массивной текстуры, на поверхностях напластования видны чешуйки и слоистость. Углистые аргиллиты являются спутниками пластов угля.

Пласти углей состоят из гумусовых разностей. В их строении принимают участие основные четыре инградиента: два матовых — фюзен и дюрен и два блестящих — кларен и витреи. Инградиенты блестящего типа углей встречаются в виде тонких прослойков и линзочек, что придает углю полосчатую текстуру. Фюзен наблюдается по плоскостям напластования в виде линий и примазок.

Мощность отложений листвяжнинской свиты, по данным В. С. Быкарова, составляет 340–440 м. Отложения среднего и верхнего отделов каменноугольной системы охарактеризованы спорово-пыльцевым комплексом: *Cyclostigma sara* Radcz., *Pinacodendron sibiricum* Kovb., *Mesocalamites trassiensis* Radcz., *Angarocarpus ovooides* Kovb., *Zonaletes rotulus* Zuberg и др.

В бассейнах рр. Аладыиной и Моктыгиной литологический состав отложений листвяжнинской свиты весьма близок к составу их в описанном разрезе.

В бассейне рч. Таежной, правого притока р. Моктыгиной, в аргиллитах верхней части разреза обнаружены растительные остатки, определенные Н. М. Корягиной как *Noeggerathiopsis Theodori* Lal et Tschirk., *Samaropsis minuta* Radcz., *Samarospadix* sp., позволяющие датировать возраст пачки как переходный между верхнекаменноугольным и нижнепермским.

### ПЕРМСКАЯ СИСТЕМА

#### Нижний отдел

#### Нижний подотдел

#### КЛИНТАЙГИНСКАЯ СВИТА (P<sup>1</sup> kl)

Отложения клинтайгинской свиты имеют широкое распространение в бассейнах рр. Кокуй, Бол., Ср. и Мал. Родин, Аладыиной и Моктыгиной. Они согласно залегают на отложениях листвяжнинской свиты.

Свита сложена перемежающимися между собою песчаниками, с прослойми гравелитов и пластами каменного угля, алевролитами, аргиллитами. Песчаники резко преобладают над остальными разновидностями пород.

Песчаники имеют зеленовато-, реже голубовато-серый цвет и состоят из зерен кварца, полевых шпатов, слюды, кальцита. Цемент преобладает глинистый. Песчаники залегают обычно под угольными пластами. Зернистость песчаников изменяется от крупной до тонкой снизу вверх по разрезу. Мощность слоев 10–25 м. Гравелиты залегают в основании слоев песчаника и имеют аналогичный песчаникам состав.

Алевролиты и аргиллиты залегают вблизи пластов угля или слагают надугольные части разрезов пачек. Преобладают голубовато-серые глинистые разности, реже встречаются слабоуглистые и углистые разновидности. Для пород характерна волнистая и горизонтальная тонкая слоистость, знаки раби. Минералогический состав алевролитов аналогичен составу песчаников. В аргиллитах преобладают глинистые минералы группы гидрослюд с примесью монтмориллонита и каолинита.

В разрезе клинтайгинской свиты на Кокуйском каменноугольном месторождении установлены следующие формы растительных остатков: *Noeggerathiopsis intermedia* Radcz., *N. derzavini* Neub., выше по разрезу — *Angaropteridium teleuticum* Radcz., *A. reniformum* Kovb., *Neuropteris pulchra* Neub.

Наиболее детально разрез свиты изучен при разведке Кокуйского каменноугольного месторождения. В бассейнах рр. Аладыиной, Моктыги, Бол., Ср. и Мал. Родин отложения свиты вскрываются лишь в очень редких естественных и искусственных обнажениях и высыпках, по которым можно судить, что характер отложений свиты весьма близок к характеру аналогичных отложений в бассейне р. Кокуй: серые и зеленовато-серые песчаники, алевролиты и аргиллиты от серого до черного цвета и пласти каменного угля. В некоторых обнажениях обнаружены растительные остатки.

В долине р. Моктыгиной выше устья руч. Гремучего в углистых аргиллитах установлен богатый комплекс спор и пыльцы, в котором преобладают споры каламитов: *Azonotriletes microrugus* (Ibr) Lub., *A. nigritellus* Lub., *A. gibberulus* Lub., *A. trichacanthus* Lub., *A. microrgranifer* Lub., *Zonotriletes psilopterus* Lub.

Среди кордаитов преобладают формы *Cordaitozonaletes rugulifer* Lub., *C. stipiticus* Lub. Самой распространенной среди древних хвойных является *Protohaploxylinus prolixus* Samoil.

Приведенные формы позволяют отнести указанные отложения к клинтайгинской свите нижней перми.

Мощность отложений свиты 175–245 м.

#### Верхний подотдел

#### РЫЖКОВСКАЯ СВИТА (P<sup>2</sup> rk)

Отложения рыжковской свиты установлены в бассейне р. Кокуй, где они залегают согласно на отложениях клинтайгинской свиты.

Рыжковская свита сложена песчаниками, алевролитами и аргиллитами, с редкими прослойками конгломератов и пластами каменного угля. В разрезе свиты установлено семь пластов угля, и среди них пласт «Мошный» мощностью до 61,4 м. Содержание угля в разрезе свиты увеличивается снизу вверх.

Породы, слагающие свиту, характеризуются ритмичностью, образуя пачки, в основании которых залегают песчаники, иногда конгломераты, а выше — алевролиты и аргиллиты с пластом угля.

Песчаники очень близки по минералогическому составу к песчаникам клинтайгинской свиты. По составу цемента песчаники разделяются на глинистые, слюдисто-глинистые и известковистые. Цвет песчаников серый, зеленовато- и голубовато-серый.

Алевролиты и аргиллиты обычно зеленовато- и голубовато-серые, синеватые, темно-серые, до черных, тонкоплитчатые и листоватые, представленные переходами от алеврито-глинистых до углистых разностей. Слоистость горизонтальная и волнистая. Аргиллиты содержат растительные остатки.

В составе галек конгломератов преобладают песчаники, алевролиты, аргиллиты, кварц, кварциты, известняки, халицедон, роговики. Цемент конгломератов песчано-глинистый.

Среди растительных остатков преобладают *Paracalamites angaricus* Kovb., *Noeggeratopsis latifolia* Neub., *Cordaicarpus ellipticus* Radcz., *C. elongatus* Radcz., *Angarocarpus angaricus* Radcz., *Korctrophyllites speckanski* (Chachl.) Radcz., *P. tomiensis* Radcz., *N. theodori* Zal. et Tschirk., *N. intermedia* Radcz., *N. derzavini* Neub., *Zamiopteris longojolia* Schv., *N. derzavini* f. *angustata* Radcz., *C. rotundus* Radcz., *C. jamaicensis* Verb., *Bardocarpus discreta* (Neul.) Neub.

Мощность отложений свиты меняется от 75 до 225 м, увеличиваясь с юго-запада на северо-восток.

## КАЙНОЗОЙСКАЯ ГРУППА

### ПАЛЕОГЕНОВАЯ СИСТЕМА

#### Палеоцен — эоцен

#### МУРОЖНИНСКАЯ СВИТА ( $Rg_{1-2} m$ )

Отложения мурожнинской свиты заполняют карстовые котловины (вотроинки) на водоразделе рр. Ангары и Бол. Дашки и имеют в плане изометрическую форму. Генетически они представлены озерными, делювиальными и болотными фациями, характеризующимися большим литологическим членством и резкими переходами от грубообломочных осадков к глинистым и хемогенным.

Основную часть отложений составляют глины, окрашенные в красно-бурые, кирпично-красные цвета. Глины содержат многочисленные включения глинистых сланцев, песчаников и каменистых бокситов. Постепенно с глубиной количество обломочного материала уменьшается. В глинах появляются бобовины. В 8 км к западу от устья р. Верхнотуровки вскрыты рыхлые и каменистые бокситы коричневато-красного, вишнево-красного, желтого и белого цвета с бобовой структурой (размеры бобовин от 1 до 7 мм), раковистыми, иногда неровными шероховатым изломом. Мощность бокситоносных отложений по данным скважин колонкового бурения превышает 120 м. По своему характеру и условиям залегания описываемые отложения сходны с отложениями мурожнинской свиты Татарского и Мурожнского бокситовых месторождений, где возраст этих отложений датируется как палеоцен — эоценовый. (Боголепов, 1961).

### НЕОГЕНОВАЯ СИСТЕМА

#### Нижний миоцен

#### КИРНАЕВСКАЯ СВИТА ( $N_{krn}$ )

Отложения кирнаевской свиты распространены на выравненных водораздельных пространствах Приангарья. Они залегают в виде небольших «островков» на докембрийских отложениях.

Свита представлена аллювиальными песчано-галечными отложениями, состоящими из желтовато-бурых хорошо отсортированных мелкозернистых кварцевых песков и гравелитов. Последние состоят из мелких галек (преимущественно кварца), сцепленных глинистым материалом с примесью окислов железа. Возраст отложений кирнаевской свиты датируется нижним миоценом (Боголепов, 1961).

На левобережье р. Ангара против устья р. Каменки мощность свиты составляет 3 м, на правом берегу р. Ангара против шиверы Быковской мощность около 30 м.

### ЧЕТВЕРТИЧНАЯ СИСТЕМА

Четвертичные отложения представлены двумя типами: элювиально-делювиальными и аллювиальными.

Элювиально-делювиальные образования имеют широкое распространение на площади листа. Состав их зависит от состава коренных пород. На территории распространения кембрийских и кембро-синийских отложений элювиально-делювиальные образования представлены желтыми, буро-красными глинами с примесью щебнистого, иногда крупнообломочного материала, на конгломератах — малиново-красными, красными песчанистыми глинами с хорошо окатанной галькой кварцитов, известняков, сланцев. В районах развития синийских пород элювиально-делювиальные образования представлены щебнистым материалом на водоразделах и круговых склонах и коричневыми и серыми суглинками — на пологих склонах и в пониженных участках. На платформе эти образования состоят из жирных глин и суглинков. Мощность элювиально-делювиальных образований различна и колеблется от 1 до 70 м.

Аллювиальные отложения распространены в долине р. Ангары и в долянах ее наиболее крупных притоков, где они слагают комплекс надпойменных террас и поймы. Представлены они тремя отделами системы: средним, верхним и современным. Возраст отложений определен на основании сопоставления с наиболее изученными разрезами (Голубев, 1958; Суима, 1958).

#### Средний отдел ( $Q_2$ )

Отложения среднего отдела выделяются на правом склоне долины р. Ангары ниже устья р. Каменки, на левом берегу р. Ангары, у шиверы Быковской и в долине р. Кокуй. Представлены они аллювиальными отложениями средних террас.

Основание террас сложено глинами и суглинками с галькой кварца, которые перекрыты супесями и гравийно-галечными отложениями. Мощность отложений от 4,5 до 30 м.

#### Верхний отдел ( $Q_3$ )

Верхний отдел четвертичной системы сложен аллювиальными отложениями II надпойменной террасы р. Ангары ниже устья р. Каменки, у шиверы Быковской и в долине р. Кокуй.

Отложения представлены галечниками, валунниками, суглинками, супесями и песками. Песок слабо глинистый с редкой галькой различных пород (песчаников, кварца, известняков) и чешуйками мусковита.

Мощность верхнечетвертичных отложений 10—12 м.

#### Современный отдел ( $Q_4$ )

Отложения современного отдела охватывают площадь распространения низких террас и пойм р. Ангары и ее притоков (рр. Каменки, Верх. и Ниж. Ослияки, Кокуй, Аладынай и Пая).

Они представлены аллювиальными, озерными и болотными отложениями: галечниками, песками, супесями, суглинками и илом. Литологический состав этих отложений отражает состав пород, слагающих район.

Современный русловый аллювий представлен в основном галечниками различного состава, реже песками. На юге района в реках, протекающих по платформе, развиты тонкие илистые осадки, а там, где реки прорезают траппы, в русловом аллювии присутствуют валуны и гальки траппов.

## ИНТРУЗИВНЫЕ ОБРАЗОВАНИЯ

### ФОРМАЦИЯ СИБИРСКИХ ТРАППОВ ( $\nu\beta - \mu\beta$ ) Р-Т

Основные породы, принадлежащие к трапповой формации, на исследованной площади пользуются широким распространением в верховых рек Аладьиной, Моктыгиной, Ср. Родины, Бол. Родины, слагая почти на цело водораздельные пространства, и в бассейнах рек Кокуй и Пая, где телами этих пород подчеркиваются складчатые структуры. По характеру залегания они представляют пластовые и дайкообразные (секущие) тела. Пластовые тела пользуются преимущественным развитием. Мощность их 50—250 м. Залегают они полого, местами почти горизонтально, среди каменноугольных и пермских отложений. Для пластовых тел характерной является столбчатая отдельность. Дайкообразные тела имеют крутное падение и секут каменноугольные, пермские, кембрийские отложения и располагаются среди пластовых тел. Мощность дайкообразных тел не превышает 150 м. Они, вероятно, являются апофизами пластовых тел, а некоторые самостоятельными инъекциями. Для них характерна призматическая, редко радиально-столбчатая и шаровая отдельности.

Долериты являются основной разновидностью пород трапповой формации. Минродолериты имеют ограниченное распространение и слагают краевые части интрузий. Среди долеритов могут быть описаны различные петрографические их разности, которые на геологической карте отразить не представляется возможным.

Долериты пойкилоофитовые слагают главным образом центральные части большинства пластовых и дайкообразных тел. Это серые, темно-серые, среднезернистые породы, с хорошо выраженным «осенним» или «горошчатым» строением, которое обусловлено наличием крупных ойлокристаллов пироксена. Структура их пойкилоофитовая, часто в комбинации с офитовой и порфирооффитовой структурами. Состав они из плагиоклаза №№ 63—80 (лабrador, редко андезин-лабrador) — 47—60%, моноклинного пироксена (пижонит) — около 40%, оливин — 3,5—5,5%, кварца (часто в гранофировом срастании с полевым шпатом) — 1,9—2,7%, вторичные минералы: иддингит-боуллингит — 0,3—0,4%, хлорит, серпентин, амфибол, остатки стекла и рудные минералы — 3—4%. (Руденко, Скляров, 1958; Полунина, Кукушкин, Шалыт, 1961).

Долериты троктолитовые размещаются в нижних частях интрузивных тел. Макроскопически они сходны с вышеописанными пойкилоофитовыми долеритами. Характерной особенностью их является наличие гломеропорфировых скоплений кристаллов оливина и отдельных крупных зерен. Структура пород пойкилоофитовая, оффитовая, гломеропорфировая, редко долеритовая. Минералогический состав их: плагиоклаз — 45—55%, моноклинный пироксен — 20—30%, оливин — 18—21%, амфибол и биотит — 0,4—3,2%, кварц — 0,3%, рудные минералы — 2,9—4,2%. Отличительной особенностью этих пород является наличие амфибала и биотита в значительных количествах. Рудный минерал представлен крупными скелетными кристаллами магнетита (Полунина, Кукушкин, Шалыт, 1961).

Долериты пикритовые располагаются в нижних горизонтах пластовых интрузий (р. Аладьина). Макроскопически они не отличаются от троктолитовых долеритов. Характеризуются значительным содержанием оливина. Состав они из плагиоклаза — 31—41%, моноклинного пироксена — 23,0—31,6%, оливин — 28,5—30,2%, биотита — 1,2—1,8%, кварца — 1,4—4,3% и рудного минерала — 2,8—3,2%. Оливин представлен гломеропорфировыми скоплениями 0,4—0,6 мм мелких зерен. Химическим анализом установлено

повышенное содержание  $MgO$  и пониженное содержание щелочей (табл. I). (Полунина, Кукушкин и Шалыт, 1961).

Долериты кварцевые слагают верхние части трапповых тел в районе р. Кокуй. Сходны с пойкилоофитовыми долеритами. Особенностью их является высокое (8—11%) содержание кварца. Наблюдается слабая амфиболитизация и хлоритизация пироксена (Полунина, Кукушкин и Шалыт, 1961).

Габбро-долериты толентовые приурочены к верхним частям трапповых тел. Это крупнозернистые породы серого и темно-серого цвета. Структура их габбро-оффитовая, участками пойкилооффитовая. Минералогический состав: плагиоклаз, моноклинный пироксен, оливин, альбит, цеолиты, кварц, амфибол, группа иддингит-боуллингита, рудные минералы (Полунина, Кукушкин, Шалыт, 1961).

Долерит-пегматиты встречаются часто в виде шлировых обособлений и жил мощностью 8—10 м среди долеритов. Представляют собой крупнозернистые (иногда «гигантозернистые») темно-серые породы, состоящие из плагиоклаза (№№ 38—40) — 10—15%, моноклинного пироксена — 15—20%, ильменита и оливина — 7—10%. Мезостазис составляет более 50% породы. Структура их пегматоидная или близкая к криптовой (Руденко, Скляров, 1958).

Габбро-долериты пегматоидные развиты в верхних частях интрузивных тел, слагают жильные и шлировые тела. Они являются как бы промежуточными породами между габбро-долеритами и долерит-пегматитами. Минералогический состав их характеризуется повышенным содержанием кварца и микропегматита (15—18%), амфибала, присутствием кальцита, биотита и апатита. Породы лейкократовые из-за повышенного содержания плагиоклаза №№ 65—77 (50—55%) и незначительного содержания пироксена и оливина. Структура габбровая, в отдельных случаях микрогаббровая и редко такситовая (Руденко, Скляров, 1958).

Лейкократовые долериты — светло-серые, среднезернистые породы пойкилооффитовой структуры, располагающиеся в верхних частях пластовых тел. Они сложены плагиоклазом (№№ 40—42) — 50% и пироксеном — 40—45%; второстепенные — рудный минерал (титано-магнетит) — до 5% и мезостазис; вторичные — хлорит (Руденко, Скляров, 1958).

Трахитоидные долериты представляют собой крупнозернистые породы темно-серого (до черного) цвета, имеющие ясно выраженную текстуру течения, обусловленную субпараллельным расположением кристаллов плагиоклаза. Этими долеритами сложены маломощные жильные тела, секущие долериты. Минералогический состав их: плагиоклаз №№ 52—55 (лабrador) — около 45—50%, моноклинный пироксен — 40—45%, оливин и рудный минерал (содержание каждого из них 2—4%), мезостазис — 4—5%. Вторичные минералы представлены иддингитом, хлоритом и хлорофенитом. Структура близка к долеритовой. Но ориентировка длиннопризматических кристаллов плагиоклаза придает породе трахитовую структуру и трахитоидную текстуру (Руденко, Скляров, 1958).

Полнокристаллический порфировидный долерит приурочен к верхним частям горизонтально залегающих пластовых тел. Это плотные мелкозернистые породы темно-серого цвета с зеленоватым оттенком. Породообразующими являются: плагиоклаз (около 55—60%), моноклинный пироксен (35—40%); второстепенными: оливин и рудный минерал (титаномагнетит?) не более 2—3% каждого; вторичными: иддингит, хлорофенит, хлорит, биотит и гидроокись железа. Общая структура породы полноизоморфическая порфировая или порфировидная. Структура основной массы микродолеритовая или микродиабазовая (Чудаков, 1958).

Краевые порфировидные долериты — скрытокристаллические породы темно-серого (до черного) цвета с мелкими порфировыми включениями полевых шпатов (Руденко, Скляров, 1958). Они приурочены к краевым частям пластовых тел. Базальто-долериты имеют порфировую структуру. Среди порфировых выделений (15—20%) определены плагиоклаз, оливин, пироксен и единичные листочки биотита. Основная масса слабораскристаллизо-

вана и состоит в основном из полевых шпатов, пироксена, оливина и рудного минерала. Стекло в основной массе отсутствует. Имеются шлировые выделения размером до 1,4 мм, сложенные слабо раскристаллизованным агрегатом, незначительно проявляющим агрегатную поляризацию.

**Микродолериты** представляют собой плотные скрытокристаллические породы почти черного цвета с раковистым изломом. Развиты в краевых частях пластовых тел. Они отмечены в верховых рр. Моктыгиной и Аладынной. Общая структура породы порфировая, обусловленная порфировыми выделениями плагиоклазов, пироксенов и оливина (10—15%). Основная масса породы состоит из микролитов плагиоклаза, пироксена, «сыпки» рудного минерала и раскристаллизованного стекла, иногда участками слабо хлоритизированного (Чудаков, 1958).

**Базальтовый порфирит (?)** — плотная порода серого цвета с зеленоватым оттенком. Встречается очень редко. Структура порфировая. Порфировые выделения сложены единичными кристаллами оливина, пироксена и плагиоклаза (5—10%). Основная масса породы состоит из микролитов плагиоклаза, беспорядочно расположенных в массе, состоящей из изометрических зерен пироксена, хлорита и «сыпки» рудного минерала. Структура основной массы интэрсертальная или криптокристаллическая (Чудаков, 1958).

Химический анализ пород трапповой формации в бассейне р. Аладынной приводится в табл. I.

Таблица I

Окислы	Пойкилофитовый долерит		Пиритовый долерит	Тиконитовый габбро-долерит	Лейкократовый долерит
	проба № 100*	Водораздел** рр. Лучик-Тихая	проба № 35**	проба № 623*	проба № 129*
SiO <sub>2</sub>	45,00	47,74	48,26	47,0	42,00
Al <sub>2</sub> O <sub>3</sub>	12,74	14,13	13,59	12,03	14,03
R <sub>2</sub> O <sub>3</sub>	37,30	—	—	31,45	29,55
Fe <sub>2</sub> O <sub>3</sub>	9,42	1,83	3,89	2,14	3,41
FeO	10,20	11,78	10,78	13,94	11,50
TiO <sub>2</sub>	3,40	1,48	1,53	1,6	1,03
CaO	9,04	10,31	9,79	8,89	8,00
MgO	3,42	8,08	7,66	10,12	15,25
MnO	0,12	—	—	—	0,17
U <sub>2</sub> O <sub>5</sub>	0,04	—	—	—	—
Na <sub>2</sub> O	2,60	2,30	2,50	2,20	1,03
K <sub>2</sub> O	0,37	0,56	0,60	0,66	0,38
P <sub>2</sub> O <sub>5</sub>	0,24	0,17	0,17	0,16	0,04
H <sub>2</sub> O	—	—	—	0,42	—
П.п.п.	3,33	1,25	0,94	1,31	1,81
Σ	99,9	99,63	99,71	100,5	99,9
					99,3

\* А. Д. Руденко, Р. Я. Скляров, 1958.

\*\* Л. А. Полунина, А. И. Кукушкин, Б. С. Шалыт, 1961.

Контактовые изменения, связанные с внедрением пород трапповой формации, незначительны и сводятся к окремнению и ороговикованию аргиллитов, алевролитов и алевритовых песчаников. Мощность зоны контактовых изменений не превышает первых метров.

## ЖИЛЬНЫЕ ПОРОДЫ

Жильные породы представлены в основном секущими кварцевыми и кварцево-кальцитовыми жилами и прожилками, являющимися отщеплениями кислой магмы, и кальцитовыми жилами и прожилками, генетически связанными с основными породами трапповой формации.

Кварцевые и кварцево-кальцитовые жилы и прожилки развиты среди отложений синийского комплекса. Кварц в жилах непрозрачный, молочно-белого цвета. Кальцит полупрозрачный. В кварцевых жилах редко отмечается мусковит. Некоторые кварцево-кальцитовые жилы несут слабую сульфидную минерализацию (бассейны рр. Талой, Верх. Мутовки). Мощность жил от миллиметров до 2 м.

Кальцитовые жилы отмечены среди карбонатных пород кембрия вблизи с основными породами трапповой формации. Мощность жил от нескольких миллиметров до 0,5 м. Жилы сложены шестоватыми кристаллами непрозрачного и полупрозрачного кальцита белого и серого цвета.

## ТЕКТОНИКА

Территория листа О-46-XVIII охватывает юго-восточную окраину Ангаро-Питского синклиниория, входящего в состав мегантиклиниория Енисейского кряжа, и северную часть Тасеевской синеклизы. Эти структуры разделены между собой зоной Ангаро-Тасеевских складок, или зоной прогиба, отделяющего складчатый пояс Енисейского кряжа от Сибирской платформы.

В тектоническом строении района выделяются три структурно-тектонических этажа: складчатые структуры докембра, свойственные Енисейскому кряжу, структуры нижнего палеозоя, развитые в основном в зоне прогиба и в меньшей степени — в пределах синклиниория, и верхнепалеозойские структуры платформы и прогиба (рис. 1).

## СКЛАДЧАТЫЕ СТРУКТУРЫ СИНЬИСКОГО КОМПЛЕКСА

Общая структура синклиниория осложнена рядом асимметричных складок в основном северо-западного и субширотного и в меньшей мере — северо-восточного простирания. Наиболее крупные антиклинали — Невшаковская, расположенная в бассейнах верхнего течения р. Верх. Осянки и р. Каменки, и Ангарская, развитая в полосе, прилегающей к долине р. Ангара — разделены Дашиинской антиклиналью, охватывающей бассейны рр. Бол. Даши, Верх. и Ниж. Осянки.

Названные структуры сложены породами синийского комплекса. В силах Невшаковской и Ангарской антиклиналей развиты отложения свиты погорюской, карточки и аладынской, на крыльях — отложения потоскской, шунтарской и киргитецкой свит. Антиклинали представляют собой узкие линейные структуры, осложненные складками второго порядка, для которых характерна ундуляция шарниров и иногда расширение сводов. Широко развита складчатость более высоких порядков с размахом крыльев от сотен до единиц метров, вплоть до микроскладчатости. Углы падения пород изменяются от 20 до 90°, наиболее часто распространены углы от 40 до 50°. В восточной части района, в месте «слияния» обеих антиклиналей, наблюдается опрокинутое залегание пород на крыльях складок.

Дашиинская антиклиналь, ядро которой сложено породами дашиинской свиты, осложнено двумя складками второго порядка, которые, сливаясь, придают структуре очертания брахисинклинали. Синклиналь имеет вид складки сундучного типа с плоским слабо волнистым дном, круто наклоненным (до 60°) северным крылом и более пологим (20°) южным крылом.

## СКЛАДЧАТЫЕ СТРУКТУРЫ НИЖНЕГО ПАЛЕОЗОЯ

Основными структурами нижнего палеозоя являются Пайская антиклиналь, протягивающаяся от нижнего течения р. Кокуй до р. Аладынной, Рыжковская антиклиналь, расположенная в бассейнах рр. Рыжковой и Кокуй,

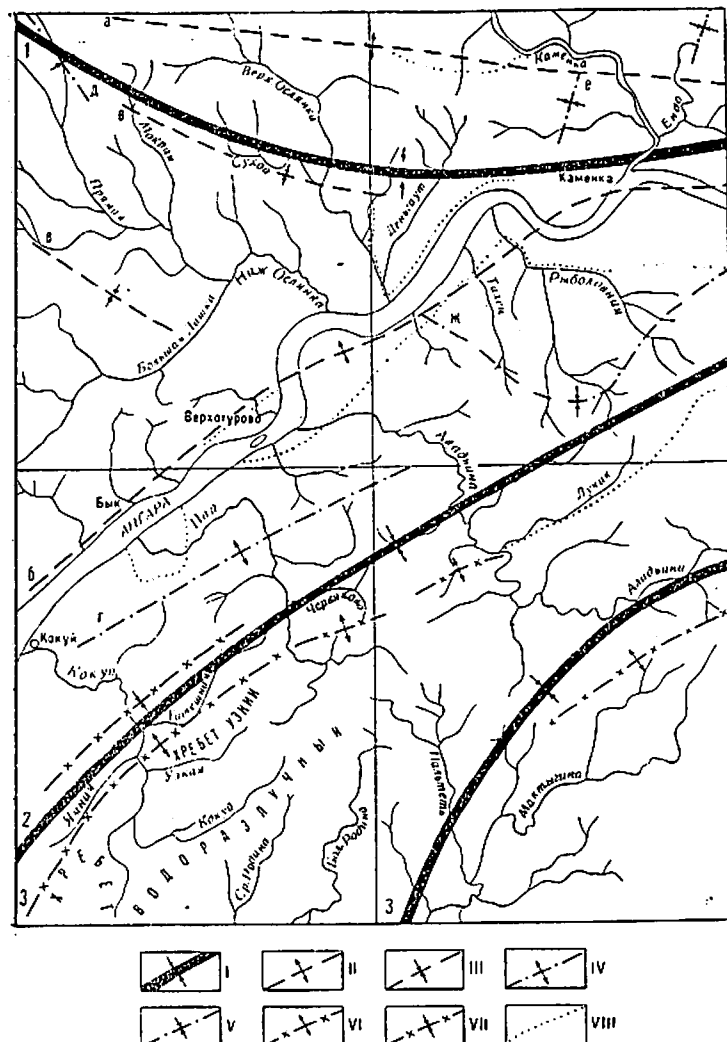


Рис. 1. Тектоническая схема листа О-46-XVIII, м-ба 1 : 500 000  
Докембрийские структуры I—III: I — Ангаро-Питский синклиниорий, II — антиклинали: а — Невшаковская, б — Антарская, III — синклиналь: в — Дашикская. Кембрийские структуры I — IV-V; 2 — Передовой прогиб. IV — антиклинали: г — Пайская. V — синклинали: д — Могильгейская, е — Дерюнгская, ж — Амиканская. Структуры верхнего палеозоя I—VI—VII. 3 — Тасеевская синеклиза. VI — антиклинали: з — Рыжковская, VII — синклинали: и — Кокуйская. VIII — тектонические разломы

Амиканская синклиниаль, занимающая междуречье рр. Ангары и Аладынной, Могдыгайская синклиниаль, расположенная в бассейне р. Прямой, и Дерюнгская синклиниаль, охватывающая бассейн р. Дерюнги.

Все названные структуры сложены породами тасеевской серии, нижнего кембрия и в незначительной степени — верхнего кембрия. Последние развиты в ядре Амиканской синклиниали.

Антиклинали имеют характер линейных структур. Дерюнгская и Амиканская синклинали по своим очертаниям приближаются к брахиоструктурам и осложнены складчатостью второго порядка. Углы наклона крыльев складок изменяются от  $12-15^\circ$  до  $40-50^\circ$ . Могдыгайская синклиналь линейно вытянута в северо-западном направлении и имеет резко выраженную асимметрию: северо-восточное крыло ее залегает вертикально, юго-западное же наклонено под углом  $20^\circ$ .

## СКЛАДЧАТЫЕ СТРУКТУРЫ ВЕРХНЕГО ПАЛЕОЗОЯ

Тасеевская синеклиза, являющаяся изгибом крупной структурой верхнего этажа, занимает всю юго-восточную часть площади листа О-46-XVII. Несколько обособленно от нее находится Кокуйская синеклиналь, расположенная в бассейне среднего течения р. Кокуй. Тасеевская синеклиза осложнена складками второго порядка, которые в зоне, примыкающей к прогибу, имеют характер линейно вытянутых структур. Вероятно, границу между прогибом и платформой следует проводить по линии: верхнее течение р. Аладьиной — верхнее течение р. Кокуй. Во внутренних частях синеклизы структуры приближаются к брахискладкам. Углы падения изменяются от  $40^{\circ}$ — $50^{\circ}$  на крыле синеклизы до  $30^{\circ}$  и менее во внутренних ее частях.

Кокуйская синклиниальная расположена в зоне прогиба. Она представляет собой линейно вытянутую складку асимметричного строения. Ее северо-западное крыло падает под углом до  $60^{\circ}$ , юго-восточное крыло наклонено под углом  $15^{\circ}$ .

Структуры верхнего этажа сложены породами верхнего палеозоя и интрудированы послойными и секущими телами траппов. В незначительной степени в сводах складок, осложняющих северо-западное крыло синеклизы, выходят породы нижнего и верхнего кембрия (бассейн р. Пай и Алданской).

## РАЗРЫВНЫЕ НАРУШЕНИЯ

Наиболее крупным среди разрывных нарушений является главный сброс (Обручев, 1923). Сброс тянется вдоль Ангары и отделяет структуры Ангаро-Питского синклиниория от зоны передового прогиба. По сбросу контактируют отложения докембрия и отложения всех трех свит тасеевской серии и нижнего кембрия. Амплитуда сброса не установлена. Главный сброс сопровождается рядом параллельных ему и опирающихся его разломов: сброс на левом берегу р. Ангары против устья р. Каменки, продолжением которого, вероятно, являются нарушения выше устья р. Верх. Осянки, и в районе Выдумского Быка и скалы Мешки, сброс в устье р. Рыболовной, по руч. Тальи и руч. Паевому. Амплитуда сбросов от 300—400 м в районе Выдумского Быка и скалы Мешки и до 500—600 м в районе устья рр. Верх. Осянки и Каменки.

Судя по резкому изменению направлений долин притоков р. Ангары в их нижних течениях, существует еще целый ряд тектонических разломов и трещин, простирающихся параллельно Главному сбросу, но не вызывающих ясно видимого смещения пород.

Нарушение типа шарнирного сброса наблюдается вдоль р. Верх. Ослянки в ее нижнем течении. По нему смешены породы ряда свит доксмбрия. Довольно крупный сброс с амплитудой около 300 м наблюдается на водоразделе рр. Каменки и Верх. Ослянки.

Ряд нарушений с меньшей протяженностью и амплитудой установлен при поисково-разведочных работах на водоразделе рр. Ангары и Бол. Дашки, в верхнем течении р. Прямой и Верх. Ослянки.

Простирание линий сбросов северо-восточное и субширотное, реже меридиональное.

В районе устья р. Пай наблюдается горст, в котором на дневную поверхность выходят породы потоскской и шунтарской свит. Системой горстов осложнена центральная часть Дерюнгской синклиналии. Амплитуда горстов достигает 1000 м.

Падение плоскостей сбрасывателей всех нарушенений крутое, приближающееся к вертикальному. Возраст описанных нарушенений нижнепалеозойский, так как они секут отложения докембрия и нижнего кембра. Нарушения на водоразделе рр. Ангары и Бол. Дашики и в верхнем течении рр. Прямой и Верх. Ослянки, по-видимому, докембрейские. Несомненно, однако, что подвижки по нарушениям продолжались и в последующие эпохи. Например, в кайнозое неравномерное поднятие блоков вызвало подпруживание ряда притоков р. Ангары с образованием озеровидных расширений долин.

В бассейне рр. Ниж. Зелинда и Лучик находится сброс, расположенный на границе прогиба и Тасеевской синеклизы. Юго-восточное крыло сброса опущено, амплитуда смещения не превышает первых десятков метров. Простирание сброса северо-восточное, угол падения плоскости сбрасывателя 60–70°. Незначительное нарушение установлено разведочными работами в вершине р. Ямной (левого притока р. Кокуй). Эти нарушения заложены, вероятно, в конце триасового периода, после внедрения траппов.

Из совокупности данных по стратиграфии и тектонике можно сделать следующие выводы о взаимоотношениях структурных элементов и последовательности тектонических процессов.

В период накопления осадков погорюйской свиты на территории листа О-46-XVIII существовал мелководный бассейн, подверженный частым и мелким колебаниям, приводившим к ритмичной смене пелитовых и псаммитовых осадков. Не исключена возможность и сезонного происхождения этой ритмичности. В период отложения известковистых сланцев, глинистых известняков и известняков свиты карточки бассейн переходит в стадию погружения. В аладынское время режим открытого моря сменяется лагунным с накоплением доломитов, обогащенных магнием. Во время накопления осадков погорюйской, карточки и аладынской свит преобладал, видимо, жаркий климат с колебаниями в сторону аридности.

Вплоть до накопления ослянской серии в зоне современного Приангарья происходит ритмичная смена глубоководных фаций фациями не глубокого бассейна: терригенные образования нижнепотоской подсвиты — водорослевые доломиты и известняки верхнепотоской подсвиты — сланцы с прослойками известняков шунтарской свиты — доломиты и известняки киргитецкой свиты. По-видимому, в этой области существовала неустойчивая в тектоническом отношении зона, колебания которой приводили к смене условий осадконакопления. В северо-западной части площади листа О-46-XVIII в этот период продолжается устойчивое погружение, которое компенсируется терригенными осадками с прослойками и линзами карбонатных отложений.

В конце тунгусского времени происходит поднятие эпейрогенического характера. В северо-западной части района и далее на запад за его пределами в последующий этап погружения на слабо размытой поверхности киргитецких пород происходит отложение осадочного гематита в бассейнах лагунного или дельтового типа. В восточной части района размыва, видимо, не было. Преобладание псаммитовых осадков в нижнеангарское время указывает на мелководье и интенсивный снос. Нарастание погружения приводит к накоплению мощнойтолщи карбонатных отложений дашиинской свиты.

Климат был теплым с умеренной влажностью, с изменением в нижнеангарское время в сторону гумидности.

Накопление синийского комплекса отложений завершается складкообразованием, во время которого в основных чертах формируются структуры докембра. К этому периоду относится внедрение гранитных интрузий Татарского, Аяхтинского и Чиримбинского массивов. Кислая интрузивная деятель-

ность на территории листа О-46-XVIII проявилась в форме кварцевых жил, интрузирующих отложения докембра.

Осадки тасеевской серии и нижнего кембра отлагаются в формирующемся в этот период передовом прогибе, отделяющем складчатую область Енисейского кряжа от Сибирской платформы, и в ряде прогибов на восточной окраине кряжа. Складкообразовательные движения саланского тектогенеза (средний кембр) приводят к формированию складок в зоне прогиба, доработке складчатых структур синклиниория и к прекращению геосинклинального режима. К этому периоду, вероятно, относится и заложение крупных дизьюнктивов и сопровождающих их мелких нарушений, обрамляющих юго-восточное крыло Ангаро-Питского синклиниория.

На протяжении верхнего кембра происходит накопление терригенно-карбонатных осадков незначительной мощности. Отложения верхнего палеозоя накапливались после длительного перерыва на размытой поверхности нижнекембрейских и верхнекембрейских отложений. В результате тектонических подвижек верхней перми — нижнего триаса формировалась складчатость, которая в зоне передового прогиба была довольно интенсивной и привела к образованию ряда линейных структур типа Кокуйской синклиналии. Формирование структур верхнего этажа сопровождалось внедрением секущих и пластовых интрузий траппов, образованием серии новых разломов и, вероятно, оживлением нижнепалеозойских дизьюнктивов.

Климат на протяжении палеозоя был жарким и влажным, о чем свидетельствует широкое развитие красноцветных и угленосных отложений и плохая сортировка обломочного материала в осадках.

## ГЕОМОРФОЛОГИЯ

По генезису и характеру расчлененности на территории листа выделяются следующие типы рельефа:

1. Эрозионное складчато-глыбовое низкогорье.
2. Денудационное структурно-траппое плато.
3. Реликты межгорных впадин неогенового возраста.

Эрозионное складчато-глыбовое низкогорье и реликты межгорных впадин неогенового возраста соответствуют по своему положению Ангаро-Питскому синклиниорию и Передовому прогибу, а денудационное структурно-траппое плато — Тасеевской синеклизе (рис. 2).

Приуроченность отдельных форм рельефа и генетически однородных поверхностей к определенным геологическим структурам позволяет на территории кряжа, относимого нами к эрозионно-складчато-глыбовому низкогорью, выделить: пологосклонный рельеф синклинальных областей, среднесклонный интенсивно расчлененный рельеф антиклиналей, инверсионный рельеф зоны Ангарской антиклинали.

На территории Дерюнгской, Дашиинской, Могдыгайской и Кокуйской синклиналей преимущественным распространением пользуются пологие формы рельефа. Абсолютные высоты колеблются от 350 до 450 м. Глубина вреза не превышает 50–60 м. Резко выраженных гребней нет, склоны холмов пологие. Профили равновесия рек выработаны или близки к равновесию. Долины рр. Дерюнг, Верх. и Ниж. Ослянки, Дашики широкие с хорошо развитой, часто заболоченной поймой, с пойменными меандрами. Широко распространены карстовые формы в виде западин и открытых карстовых воронок, наличие которых объясняется развитием карстующихся карбонатных пород синия и нижнего кембра. Интенсивнее закарстованы приангарские участки.

Точных данных о времени карстообразования нет. Древние карстовые воронки, вскрытые горными работами на водоразделе руч. Быковского и руч. Верхнотуровки, имеют палеогеновый возраст. Воронки, ярко выраженные в современном рельефе, являются четвертичными.

Морфология Невшаковской, Пайской и Рыжковской антиклиналей и сильно дислоцированного восточного крыла Дашиинской синклиналии иная: абсолютные отметки не превышают 520 м на севере и 380 м на юге. Глубина расчленения 120–160 м. Характерно преобладание склонов средней

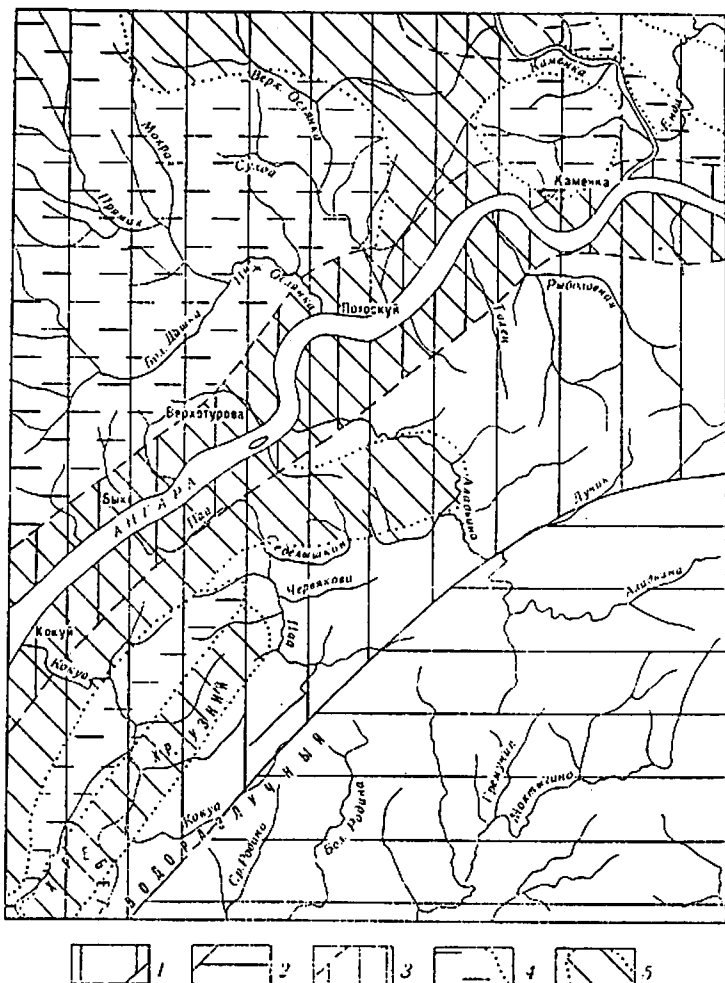


Рис. 2. Схема геоморфологического районирования листа О-46-XVII, м-ба 1 : 500 000

1 — эрозионное складчато-глыбовое низкогорье; 2 — денудационное структурно-траптовое плато; 3 — зона инверсионного рельефа; 4 — площадь развития пологосклонного рельефа синклинальных областей; 5 — площадь развития среднесклонного и крутосклонного рельефа антиклинальных областей

крутизны, встречаются крутые, иногда обвально-осыпные склоны. Долины рек и ручьев глубоко врезаны, они узкие, асимметричные, профили равновесия их не выработаны, часто встречаются врезанные меандры.

Зона Ангарской антиклинали характеризуется инверсионным рельефом. Она обладает пониженными высотами по сравнению с остальными частями района (250—350 м), интенсивным расщеплением, крутосклонным рельефом и широким распространением террас р. Ангары.

Долина р. Ангары в основном симметрична, участками асимметрична, берега реки высокие, крутые. Расширенные участки долины приурочены к синклинальным структурам и местам сравнительно легко размываемых толщ (в устье р. Кокуй, ниже д. Каменки).

В долине р. Ангары хорошо выделяются поймы низкого и высокого уровней; превышение первой над урезом р. Ангары составляет 1,5—3 м, второй — 5—7 м. Поверхность поймы обычно ровная со слабобугристым микрорельефом, иногда обвалована и заболочена, возраст поймы современный.

Надпойменная терраса с превышением над урезом р. Ангары до 15 м обычно имеет четко выраженную бровку и ровную поверхность, иногда отмечается наличие берегового вала.

Надпойменная терраса высотой 15—20 м над урезом воды имеет различный характер: на правом берегу р. Ангары ниже устья р. Каменки и в районе устья р. Кокуй она аллювиальная, в районе руч. Ваничкина — скульптурная, иногда цокольная.

Надпойменные террасы высотой 30—60 м над урезом воды, по-видимому, сильно размыты, поэтому в рельефе выражены очень слабо; 90—100-метровая надпойменная терраса обычно цокольная, иногда — скульптурная.

Выделенные нами четыре уровня надпойменных террас соответствуют низкому и среднему комплексу террас, выделенных С. М. Голубевым, Л. И. Хардиним и др. в 1958 г. Возраст террас этими исследователями определяется как верхнечетвертичный и современный для низкого комплекса и нижне- и среднечетвертичный — для среднего комплекса террас. и нижне- и среднечетвертичный — для среднего комплекса террас.

На абсолютных высотах 250—300 м в правобережье и левобережье р. Ангары встречаются выровненные поверхности, покрытые отложениями киргитской свиты, представляющие, по нашему мнению, остатки реликтовой неогеновой аккумулятивной поверхности (неогеновых межгорных впадин). Эти поверхности соответствуют высокому комплексу террас, выделенному вышеупомянутыми авторами.

Породы верхнепотоскайской подсвиты и киргитской свиты часто образуют останцы выветривания в виде островерхих вершин и глыб.

Морфология передового прогиба подобна морфологии кряжа в результате сходных условий формирования рельефа.

Тасеевскую синеклизу по типу рельефа можно отнести к денудационному синеклизу по типу рельефа. Широким распространением здесь пользуются пластовые интрузии траппов, почти горизонтальное залегание которых определяет значительную выравненность рельефа. Абсолютные высоты колеблются от 400 до 500 м. Глубина расщепления небольшая — 40—80 м. Очертания форм мягкие; широкие уплощенные водоразделы на наклоннозалегающих траппах — кuestообразные. На конфигурацию речной сети и характер долин оказывают влияние участки распространения траппов: реки закладывают свои долины или по тектоническим трещинам в траппах, или в породах каменоугольной и пермской систем.

К зонам тектонических разломов приурочены аккумулятивные озерно-аллювиальные впадины по рр. Кокуй, Аладынай, Моктыгиной. Морфология их очень проста: пониженная сильно заболоченная ровная поверхность от русла постепенно, без террас переходит в склон. Происхождение их можно объяснить поднятием по разломам отдельных блоков, подпруживанием долины и образованием озер. Последующее усиление эрозии приводило к распруживанию и сливу последних, после чего оставалась заболоченная аккумулятивная равнина.

Аккумулятивная равнина устья р. Ямной (левого притока р. Кукуй) приурочена к современной депрессии в ядре Кукуйской синклиналии.

Развитие рельефа района происходило, видимо, скачкообразно, о чем свидетельствует ряд поверхностей выравнивания, расположенных на различных высотных уровнях.

В течение всего датского века, и, возможно, нижней части палеоценена на территории Енисейского кряжа существовал пепелен и формировалась кора выветривания.

В палеоцен-эоцене район, видимо, претерпел поднятие, в результате которого произошел разрыв и переотложение продуктов коры выветривания в эрозионных и карстовых впадинах (Боголепов, 1960, 1961). На территории листа О-46-XVIII об этом свидетельствуют бокситоносные отложения мурожинской свиты на водоразделе рр. Ангары и Бол. Даши.

В конце палеогена — начале неогена на месте современной долины р. Ангары сформировалась тектоническая впадина, в которой накапливаются отложения кирнаевской свиты. Остальная часть территории района являлась областью довольно интенсивного сноса.

Интенсивное поднятие и усиление эрозии происходило с начала четвертичного периода. На месте неогеновой озерно-аллювиальной впадины формируется долина р. Ангары. Происходит расчленение выравненной поверхности, формируется рельеф и гидографическая сеть в их современном плане. Низы четвертичного периода можно считать нижней возрастной границей современного рельефа складчатой зоны.

В платформенной части района в юре и неокоме существовала кора выветривания. В нижнем мелу в результате усиления восходящих движений произошел разрыв и переотложение продуктов коры выветривания в карстовых понижениях (Елхов, 1960). Не имея сведений о дальнейшем развитии платформы, мы даем лишь приближенную нижнюю границу возраста рельефа и считаем рельеф денудационного структурно-траппового плато послеюрским.

## ПОЛЕЗНЫЕ ИСКОПАЕМЫЕ

На площади листа О-46-XVIII выявлены месторождения и проявления горючих, металлических, неметаллических ископаемых и строительных материалов.

Из группы горючих ископаемых известны крупное месторождение каменного угля (Кукуйское) и ряд проявлений. Из группы металлических полезных ископаемых известны проявления магнезитовых руд (р. Лучик), месторождение (Рудногорское) и проявление (Нижне-Осянское) гематитовых руд, сидеритовые, железо-марганцевое, цинковое, свинцово-цинковое, медно-никелевые проявления и проявление боксита. Кроме того, установлены механические ореолы рассеяния редких земель (моанит, циркон) и киновари. Из неметаллических полезных ископаемых известны крупные месторождения магнезитов (Быковское, Верхнотуринское) и проявление талька.

Район богат строительными материалами, но изучены они слабо и поэтому промышленная ценность их не выяснена. Только незначительная часть их разведана.

### ГОРЮЧИЕ ИСКОПАЕМЫЕ

#### Твердые горючие ископаемые

##### Каменный уголь

Каменные угли приурочены к каменноугольным и пермским отложениям, развитым в южной части исследованной территории. Эти отложения слагают юго-западную часть Тунгусского каменноугольного бассейна, занимая почти треть исследованной площади.

В настоящее время известно одно крупное месторождение и несколько участков с выходами пластов каменного угля. Следует отметить, что пло-

щадь, где развиты отложения каменноугольной и пермской систем, является перспективной в отношении нахождения месторождений каменного угля.

Кукуйское месторождение [47] расположено в бассейне р. Кукуй. Основные разведочные работы проводились с 1949 по 1956 г. Ангарской геологоразведочной партией. Подсчет запасов проводился в 1961 г. В. С. Быкадоровым. Месторождение приурочено к отложениям листвянинской, клинтайгинской и рыжковской свит пермо-карбона. В структурном отношении оно представляет собой асимметричную синклинальную складку (Кукуйская синклиналь) северо-восточного простирания с падением северо-западного крыла под углом 30—60° и юго-восточного крыла под углом 10—30°. Общая мощность отложений, среди которых заключены каменноугольные пласти месторождения, составляет 770 м. На месторождении известно до 70 каменноугольных пластов и пропластков, из которых 30 имеют рабочую мощность, хотя бы на отдельных участках. Угли в основном гумусовые, среди которых редко встречаются тонкие прослои сапропелево-гумусового угля. В пластах по силе блеска выделяются блестящие, полублестящие, полуматовые и матовые петрографические разности углей. Качество углей и технологические свойства позволяют маркировать их как газовые. Часть пластов углей метаморфизована под контактовым воздействием тряпков. Угли месторождения, учитывая достаточную теплотворную способность, низкую сернинистость и фосфористость, а также тугоплавкость золы (огнеупорность 1230—1350° С), являются ценным энергетическим топливом. Запасы каменного угля месторождения утверждены ГКЗ (протокол № 3295 от 18/II 1961 г.).

Балансовые запасы по категориям  $A_2+B+C_1+C_2$  составляют 715796 тыс. т. Забалансовые запасы по категориям  $A_2+B+C_1+C_2$  составляют 1165586 тыс. т.

Червяковское проявление [31] расположено на левом склоне долины р. Червяковой в ее верховьях (Быкадыров, 1961). На поверхность выходит пласт каменного угля, разделенный прослоем аргиллитов и алевролитов мощностью 5 м по две пачки. Верхняя угольная пачка имеет мощность 10 м, нижняя — 8,5 м. Простиранье пласта углей субмеридиональное, падение юго-западное под углом 60°. Пласт сложен матовыми и полуматовыми типами углей. Технический анализ углей обеих пачек показал:  $W^a = 10,85—11,07\%$ ,  $A^e = 15,54—29,27\%$ ,  $V^r = 45,18—50,03\%$  и  $Q^e = 6242 \text{ ккал}/\text{кг}$  (по В. С. Быкадорову, 1961).

Проявление руч. Глухариного [38] расположено на правом склоне долины руч. Глухариного (левый приток р. Алладыновой). Обнаружено в 1955 г. А. Д. Левченко. Среди аргиллитов и алевролитов листвянинской свиты вскрыто пять пластов каменного угля мощностью 0,9—4,5 м, простиранье которых субширотное с северным падением под углом 30—35°. Угли представлены полуматовыми и полублестящими разностями с незначительным содержанием фузенового вещества. Стадия метаморфизма углей жирная низкой подстадии. Один пласт имеет стадию метаморфизма жирную высшей подстадии, переходную к коксовой низшей подстадии. Технический анализ устанавливает значительную окисленность  $W^a = 7,7\%$ ,  $A^e = 28,12\%$ ,  $V^r = 38\%$ . Содержание спекающихся компонентов составляет 63% (Быкадоров, 1961).

Лучиковское проявление [43] обнаружено в 1955 г. А. Д. Левченко на левом склоне долины р. Лучик (в среднем и нижнем течении, где среди отложений листвянинской свиты им вскрыто несколько пластов каменного угля мощностью 0,25—1,5 м). Угли фузеновые и ксиленовые низкого качества.

Проявление р. Тихой [41] установлено в 1957 г. Н. А. Чудаковым. На правом склоне долины р. Тихой вскрыт один пласт каменного угля мощностью 0,8 м среди отложений листвянинской свиты, падение пласта северо-восточное под углом 58°. Угли газовой стадии — нижняя и средняя подстадии.

Проявление руч. Утиного [45]. Н. А. Чудаковым в 1958 г. в русле ручья были обнаружены обильные скопления мелких плитчатых обломков блестящего угля. Угольные пласти в коренном залегании не вскрыты.

Пайское I проявление [32] расположено на правом берегу р. Пай в 4 км выше устья р. Речечная Вытегра. Описано в 1961 г. В. С. Быкадоровым. Среди углистых аргиллитов, алевролитов листвяжинской свиты вскрыто три угольных пласта мощностью 0,2, 0,25 и 0,7 м. Угли полуматовые и полублестящие и по степени метаморфизма относятся к газовым нижней и средней подстадии. Влажность анализируемых проб ( $W^a$ ) составляет 8,32—8,60%, зольность абсолютно сухого топлива ( $A^c$ ) изменяется от 7,74 до 8,52% и летучие на горючую массу ( $V^r$ ) составляют 39,81—56,55%.

Пайское II проявление [33] обнаружено в 1947 г. Ю. П. Пармузином на правом склоне долины р. Пай в 4 км выше руч. Талого среди отложений листвяжинской свиты. Мощность каменноугольного пласта 1,0 м. Угли характеризуются следующими показателями:  $W^a$  — 12,45%,  $A^c$  — 9,28%,  $V^r$  — 49,33% и содержание серы — 0,69%. (Быкадоров, 1961).

Пайское III проявление [34] обнаружено в 1947 г. С. Ф. Булацель. Расположено оно в 8 км выше руч. Талого на левом берегу р. Пай. Среди отложений клинтайгинской свиты вскрыт пласт угля мощностью 0,6 м, характеризующийся следующими показателями: влажность ( $W^a$ ) 4,5%, зольность ( $A^c$ ) 15,8%, летучие ( $V^r$ ) 32,35% и серы ( $S_{общ}$ ) 1,86%.  $C^r$  — 80,71%,  $H^r$  — 5,15%,  $(N^r + O^r)$  — 14,14% и  $Q^r$  — 7150 ккал/кг (Быкадоров, 1961).

Пальтьское проявление [40] описано Н. А. Чудаковым в 1957 г. Представлено мелкими плитчатыми обломками углей в русле верхнего течения р. Пальть.

Происхождение руч. Среднего [46] расположено в вершине руч. Среднего (левый приток р. Аладынной). Н. А. Чудаковым в 1957 г. среди отложений клинтайгинской свиты вскрыто шесть угольных пластов мощностью от 1,10 до 3,1 м. Падение пластов западное под углом 12—30°. Угли гумусовые, четырех инградиентов: два матовых — фюзен, дюрен и два блестящих — кларен, витрен. Кроме того, имеются полублестящие и полуматовые разности углей, которые играют довольно значительную роль в составе угольных пластов. Петрографическим анализом углей установлено, что они относятся к энергетическим, а по степени метаморфизма — к газовой стадии, и только один пласт имеет стадию метаморфизма, переходную от коксовой к паровичноспекающейся. Последний по содержанию компонентов обладает весьма хорошим петрографическим составом. Сумма спекающихся компонентов составляет 68,25%, а неспекающихся 16,25%. Химический анализ углей, проведенный В. С. Быкадоровым, устанавливает:  $W^a$  — 8,06—22,57%,  $A^c$  — 15,0—21,63%,  $V^r$  — 40,40—45,33%,  $S_{общ}$  — 0,17—0,32%,  $C^r$  — 67,16—68,5%,  $H^r$  — 4,32—4,55%,  $N^r$  — 1,39—1,40%,  $O^r$  — 25,88—26,90% и  $Q_6^r$  — 5655—6301 ккал/кг.

Происхождение р. Нижней [48] обнаружено в 1961 г. при геологической съемке листа. Шурфом вскрыта кровля угольного пласта среди отложений листвяжинской свиты. Мощность и элементы залегания пласта не установлены. Угли сильно выветрелые. Качественная оценка их не производилась.

Верхнекокуйское проявление [49] расположено в верхнем течении р. Кокуй, где среди отложений клинтайгинской свиты в 1961 г. при геологической съемке листа вскрыто два каменноугольных пласта мощностью 0,1 и 0,2 м. Падение их западное под углом 10°. Кроме того, щебенка углей обнаружена на правом склоне долины р. Кокуй в 5 км вверх от устья р. Нижней. Качественное определение этих углей не производилось.

Моктыгинское проявление [50] обнаружено в 1957 г. Н. А. Чудаковым на правом и левом берегах р. Моктыги среди отложений клинтайгинской свиты. Вскрыто пять угольных пластов мощностью от 0,5 до 3,0 м. Падение пластов юго-восточное под углом 10—25°. Пласти сложены матовыми углами, среди которых выделяются линзы и прослои полублестящих углей. Угли энергетические, газовой стадии метаморфизма. В. С. Быкадоровым произведены химические анализы, результаты которых следующие:  $W^a$  — 6,10—10,34%,  $A^c$  — 7,22—41,05%,  $V^r$  — 42,43—53,27%. По одному из пластов определены содержания  $S_{общ}$  0,49%,  $C^r$  — 72,37,  $H^r$  — 4,62%,  $N^r$  — 1,92%.  $O^r$  — 21,09% и  $Q_6^r$  — 62,89 ккал/кг.

## МЕТАЛЛИЧЕСКИЕ ИСКОПАЕМЫЕ Магнетитовые руды

Рудопроявление Лучик I [36] расположено на правом склоне среднего течения р. Лучик. В этом районе аэромагнитной съемкой в 1956 г. было выявлено несколько магнитных аномалий. В 1958 г. эти аномалии были обследованы Ю. Я. Вдовиченко и интерпретированы как рудные. Для выяснения масштабов выявленных рудопроявлений в 1959 г. А. Я. Парунином и З. И. Афанасьевой были проведены проверочные работы. Этими работами среди известняков, доломитов и аргиллитов нижнего отдела кембрия выявлено рудное тело, вытянутое в северо-восточном направлении и имеющее в плане грушевидную форму. Площадь тела 170 м<sup>2</sup>. Среднее содержание железа составляет 52%,  $SO_3$  — от следов до 0,007%,  $P_2O_5$  — от 0,71 до 1,68% и  $V_2O_5$  — 0,09% (среднее). Руды оолитового строения. В центре тела магнетит крупноолитовый. На периферии тела размер оолитов заметно уменьшается. Форма оолитов эллипсоидальная, сплющенная, редко круглая с концентрически-зональным расположением слоев. Размеры оолитов от 2 до 12 мм. Цемент магнетито-карбонатный. Контакт рудного тела с вмещающими породами представлен тектонической брекчийей. Рудное тело на глубину не изучено.

Рудопроявление Лучик — II [42] расположено на правом склоне р. Лучик (водораздел р. Лучик и его правого притока). На данном участке в 1958 г. проведена магнитная съемка (Ю. Я. Вдовиченко). В 1959 г. проверочные работы проводились А. Я. Парунином и З. И. Афанасьевой. Среди известняков нижнего кембрия вскрыто два магнетитовых тела. Одно тело имеет 50—55 м в длину и мощность 15—17 м. Другое имеет 15—17 м по простиранию и мощность 7—8 м. Рудные тела падают на юго-восток под углом 80°. Простирание северо-восточное. Магнетит тонкозернистый, массивный, черного цвета. Контакт тел магнетита с вмещающими породами представлен тектонической брекчийей. Тела на глубину не изучены. Результаты химических анализов магнетитовых руд:  $SiO_2$  — 0,64—3,35%,  $Al_2O_3$  — 1,62—2,61%,  $Fe_2O_3$  — 48,61—75,15%,  $TiO_2$  — 0,17—0,22%,  $CaO$  — 0,82—17,98%,  $MgO$  — 3,60—6,20%,  $MnO$  — 0,12—0,16%,  $FeO$  — 8,85—13,80%,  $SO_3$  — следы,  $P_2O_5$  — 0,006—0,26%,  $V_2O_5$  — 0,06—0,5%,  $CO$  — следы — 0,008%,  $Ni$  — нет и П. п. п. — 1,23—16,46%.

Верхнеключиковское рудопроявление [41] расположено на водоразделе р. Лучик и его левого притока. Обломки магнетитов в делювии впервые были обнаружены в 1957 г. А. Д. Руденко и Р. Я. Скляровым. В 1959 г. поисковые работы проводились А. Я. Парунином и З. И. Афанасьевой. Магнетиты в коренном залегании не были вскрыты.

Вероятно здесь имеют место мелкие тела магнетитов, которые могли быть пропущены при проведении горных работ. Химический анализ обломков магнетита показал содержания:  $SiO_2$  — 7,25—22,1%,  $Al_2O_3$  — следы,  $Fe_2O_3$  — 59,56—80,33%,  $TiO$  — 0,1—0,13%,  $CaO$  — 0,1—0,65%,  $MgO$  — 0,64—0,7%,  $MnO$  — 0,21—0,32%,  $V_2O_5$  — 0,07—0,11%,  $FeO$  — 9,35—15,70%,  $SO_3$  — следы — 0,006%,  $P_2O_5$  — 0,04—0,06% и п. п. п. — 1,68—1,72%. Руды описанных проявлений представляют собой продукт дифференциации основных пород трапповой формации. Промышленного значения эти рудопроявления магнетитов не имеют. (Парунин, Афанасьева, 1961).

## Гематитовые руды

На площади листа О-46-XVIII известны Рудногорское месторождение и Нижне-Ослинское рудопроявление хлорито-гематитовых руд, приуроченных к рудной пачке нижнеангарской свиты синийского комплекса. Генетически они относятся к осадочным слабо метаморфизованным месторождениям, имеющим пластовое залегание и выдержаным на больших площадях.

Рудногорское месторождение [3] расположено на водоразделе р. Мокрой и руч. Сухого (южный склон хр. Покровского). Выходы руд впервые описаны в 1948 г. Ф. Я. Паном. Предварительные поисковые работы

проводились в 1954 г. Нижне-Ангарской партией. В 1958 г. М. С. Смирновым при производстве поисково-съемочных работ были обнаружены новые выходы руд. Пласти приурочены к рудоносной пачке нижнеангарской свиты синийского комплекса и прослеживаются на 3 км по простирианию; при этом мощность их уменьшается по падению и по простирианию на юго-восток. Мощность рудоносной пачки колеблется от 16 до 40 м. В рудоносной пачке содержатся два пласта руд с наибольшей суммарной мощностью 13,5 м в западной части месторождения. В структурном отношении месторождение приурочено к северному крылу Дашикской синклиниали. Падение рудных пластов Ю-ЮВ под углом 10—40°. Руда конгломератовая хлорито-гематитовая, представлена полуокатанными гальками и густковыми образованиями гематита в хлорито-гематитовом цементе. На восточном фланге месторождения в рудных пластиах содержится мало галек гематита и руда представляет собой хемогенное образование с большой примесью обломочного кварца. Цвет руды темно-вишнево-серый. Среднее содержание растворимого железа по первому рудному пласту составляет 41,8%, а по второму — 32,8%. Кроме того, имеются пропласти руд, содержащие выше 50% растворимого железа. В рудных пластиах содержатся прослойки мощностью до 30 см лилово-серых алеврито-глинистых сланцев и кварцевых гематитсодержащих песчаников с содержанием растворимого железа в пределах 21—24%. По данным спектрального анализа штучных проб руд в них содержится (в процентах): Ni — 0,003, Mn — до 0,05, Cu — до 0,03, Pb — до 0,02, Zn — до 0,02, Li — до 0,03, Sr — до 0,003, Ba — до 0,03, Ti — до 0,2, La — до 0,003, J — 0,01. Фосфор в пробах не установлен. Геологические запасы руды на месторождении составляют 9,5 млн. т. Изучение обогатимости руд не производилось.

**Нижне-Осянское рудопроявление** [4] расположено в среднем течении р. Ниж. Осянки на правом склоне. Обнаружено в 1947 г. В. И. Медведковым. Первые попытки по оценке этого рудопроявления были сделаны Ф. Я. Паном в 1947 г. Поисковые работы здесь проводились также отрядом Нижне-Ангарской партии в 1950—1951 гг. В 1958—1960 гг. это рудопроявление изучалось М. С. Смирновым.

Нижне-Осянское рудопроявление пространственно связано с Нижне-Ангарским и Удоронгским месторождениями. В геологическом строении рудопроявления принимают участие отложения нижнеангарской свиты, представленной алеврито-глинистыми сланцами и песчаниками, в нижней части которой располагается рудоносная пачка мощностью 70 м. В структурном отношении Нижне-Осянское рудопроявление приурочено к южной части Нижне-Осянской брахиантклиниали, которая осложнена тремя нарушениями с амплитудой смещения от 50 до 300 м. Углы падения слоев пород, слагающих антиклиналь, имеют 5—15°. Рудные пласти приурочены к средней и верхней частям разреза рудоносной пачки. Мощность рудных пластов изменяется от 0,1 до 2,0 м, чаще всего 0,2—0,6 м. Руда хлорито-гематитовая, песчанистая, мелко-, средне- и крупногалечниковая.

Средневзвешенное содержание железа (растворимого) по одному пласту мощностью до 2,0 м составляет 40,7%. Рудопроявление не представляет промышленного интереса.

### Сидеритовые руды

Сидериты описаны в 1957 г. А. Д. Руденко и Р. Я. Скляровым на левом берегу р. Ангары.

**Левый берег р. Ангары против устья р. Каменки** [11]. Среди отложений потоскайской свиты отмечен пласт мощностью 12 м, представленный глинистыми сланцами, алевролигами и песчаниками, содержащий большое количество сферических ячеек диаметром 0,4—0,6 мм, выполненных гидроокисями железа. Пласт по простирианию не прослежен. Кроме того, в пласте обнаружены два прослоя мощностью 0,3 и 0,6 м, содержащие в небольшом количестве дискоидной формы мелкие тела сидеритов (10×20 см), которые распределены неравномерно. Общее содержание железа составляет 45% (Fe — 0—44,32%, Fe<sub>2</sub>O<sub>3</sub> — 45,93%, CaO — 0,2%). Спектральным анализом

установлено наличие в них марганца (0,2%), цинка (0,003%), лития (0,003%) и титана (0,02%). Рудопроявление практического значения не имеет.

**Левый берег р. Агара ниже устья р. Рыболовной** [9]. Сидеритовая минерализация отмечена в четырех пунктах — 0,5 км, 2,9 км, 3,1 км ниже устья р. Рыболовной и 0,5 км ниже руч. Талец и приурочена к аргиллитам, глинистым сланцам и песчаникам киргитецкой свиты. Сидерит отмечается в виде густой вкрапленности изометрических зерен до 0,4 мм в диаметре. Более мелкие зерна сидерита нацело замещены окислами и гидроокисями железа. Содержание зерен сидерита достигает 30% от общей массы вмещающих отложений. Сидеритсодержащие прослои составляют 15—25% мощности пачки (120 м). Химическим анализом в сидерите определено содержание: Fe<sub>2</sub>O<sub>3</sub> — 11,01—17,7%; FeO — 37,96—49—76% и CaO — 0,36—0,43%. Результаты химического анализа образца, в котором визуально было определено большее количество железа (0,5 км ниже р. Рыболовной), следующие: SiO<sub>2</sub> — 37,0%, Fe<sub>2</sub>O<sub>3</sub> — 44,84%, FeO — 0,53%, TiO<sub>2</sub> — 0,29%, Al<sub>2</sub>O<sub>3</sub> — 5,91%, MnO — 0,08%, V<sub>2</sub>O<sub>5</sub> — 0,05%, CaO — 0,20%, MgO — 0,27%, P<sub>2</sub>O<sub>5</sub> — 1,23%, SO<sub>3</sub> — нет, п. п. — 8,16%.

Спектральным анализом проб сидеритов установлено наличие: Mn — 0,1—0,5%, Zn — 0,05%, Cu (ед. пробы) — 0,02%, Li — 0,003%, Ti — 0,02—0,1%. Описанные сидеритовые рудопроявления практического значения не имеют.

### Железо-марганцевые руды [24]

Рудопроявление расположено на левом берегу р. Ангары у устья руч. Нижне-Шиверного. Описано в 1957 г. А. Д. Руденко и Р. Я. Скляровым. В аргилитах потоскайской свиты наблюдаются тонкие прослои гематит-лимонитовых руд. Здесь же в делювии встречены глыбы (30×40 см) землисто-черных гематит-псиломеланандовых руд. Химический анализ показал содержание Fe<sub>2</sub>O<sub>3</sub> 53,6%, MnO 21,65% и MgO 9,32%. Кроме того, между устьями ручьев Нижне-Шиверного и Верхне-Шиверного имеется большое количество обломков гематитовых руд, часто в виде натечных радиально-лучистых форм (содержание Fe<sub>2</sub>O<sub>3</sub> 65,77% и FeO 0,48%), и слонистых гематитов (содержание Fe<sub>2</sub>O<sub>3</sub> 80,82%, FeO 0,48%, TiO<sub>2</sub> 0,18%, MgO 0,28% и MnO 0,04%). Спектральным анализом в них определено наличие цинка (0,5%), кобальта (0,003%), титана (0,003%), марганца (0,01%) и фосфора (0,1%).

В русле руч. Нижне-Шиверного встречаются обломки кварцевых песчаников с гематитовым цементом, содержание Fe<sub>2</sub>O<sub>3</sub> 73,64%, FeO 0,38%, TiO<sub>2</sub> 0,22%, MgO 0,98% и MnO 0,04%. Рудопроявление практического значения не имеет.

### Медь, никель, кобальт

Лучиковое рудопроявление [35] расположено на водоразделе рр. Дальней и Лучник. В 1959 г. А. Я. Паруниным и З. И. Афанасьевой в делювии были обнаружены обломки кремнистых омарганцованных пород зеленовато-серого цвета. Спектральным анализом в них установлено наличие Co — 0,1—1,0%, Ni — 0,5—1,0%, Cu — 0,1—0,3%, Mn — 1,0%, Pb — 0,01—0,02%; Zn — 0,03% и Ba — 0,03—0,1%.

Аладынское рудопроявление [37] расположено на правом берегу р. Аладынной в 0,6 км выше устья р. Лучник. А. Д. Руденко и Р. Я. Скляровым в 1957 г. описаны тряппы, в которых наблюдаются мелкие миндалины, представленные хлоритоподобным минералом зеленовато-серого цвета. Спектральным анализом установлено, что в этих гравиях с миндалинами содержатся: Cu более 1%, Ni 0,05%, Co 0,02%, As 0,03%, Cr 0,01%.

На этих рудопроявлениях в 1960—1961 гг. металлометрическим опробованием делювия установлено, что медь, никель, кобальт и хром создают фоновое содержание 0,003—0,005%, среди которого выделяются по единичным пробам точки с содержанием 0,01% меди, никеля и хрома. Для выяснения перспектив рудопроявлений необходимо провести поисковые работы.

## Свинец и цинк

Талинское свинцово-цинковое рудопроявление [5] расположено на правом склоне нижнего течения р. Талой. В 1959 г. М. С. Смирновым среди известняков дашкинской свиты обнаружена кварц-кальцитовая жила мощностью 2 м с редкой вкрапленностью галенита, сфалерита, халькопирита и пирита. Из вторичных минералов отмечается малахит и азурит. Жила прослежена по простиранию на 20 м. Простиранье ее близкое к меридиональному. Падение восточное под углом 65°.

Химический анализ штуфных проб показал содержания: Pb — до 0,46%, Zn — до 1,48%, Cu — до 0,13%, Co — менее 0,05%, золото и серебро в пробах не обнаружены. В гидрохимических пробах из р. Талой ниже жилы установлено содержание меди, более 3 мг/л. Содержание свинца 0,009 мг/л отмечается в пробе воды, отобранный в непосредственной близости от рудопроявления.

Нижне-Осялинское рудопроявление цинка [6], расположение на левом склоне р. Ниж. Осялини между устьевой частью р. Талой и верхним течением руч. Шалаптиканы, установлено в 1959 г. М. С. Смирновым. Приурочено к зоне нарушения мощностью до 7 м, среди отложений киргитецкой свиты. Химическим анализом в штуфной пробе, представленной брекчиями алеврито-глинистых сланцев, пронизанной прожилками пиролюзита, установлено содержание Zn — 1,53%, MnO — 3,8%, Cu — 0,01% и P<sub>2</sub>O<sub>5</sub> — 0,55%. Описанные рудопроявления свинца и цинка промышленного интереса не представляют.

## Алюминий

Верховые руч. Быковского [13]. Рудопроявление бокситов обнаружено в 1958 г. 2-й Дашкинской партией (Ситников, 1961). Проявление приурочено к рыхлым палеогеновым отложениям, которые прослеживаются в виде полосы шириной 300 м на 0,8 км. Отложения имеют мощность 120 м и представлены вязкими пластичными глинями красновато-бурового и бурого цветов с полуокатанными обломками песчаников, глинистых сланцев и каменистых бокситов. Среди глин выделяются бокситовые глины с содержанием глинозема более 28%. Размер обломков каменистых бокситов достигает 30 см в поперечнике. Цвет каменистых бокситов коричневато-красный, вишнево-красный, желтый и белый. Все они обладают бобовой структурой. Бобовины круглой и овальной формы размером от 1 до 7 мм. Цемент бокситов фарфоровидный с раковистым, иногда с неровным шероховатым изломом. Некоторыми шурфами вскрыты каменистые бокситы в коренном залегании, среди которых выделяются бокситы марки Б-5. Мощность тел каменистых бокситов не установлена.

Рудопроявление недостаточно изучено. Для установления качественной характеристики и количественной оценки бокситов необходимо провести детальные геологические работы.

Гальки бокситов в аллювии описаны П. П. Ситниковым (1961) по руч. Быковскому и руч. Кипрушки, а также А. Д. Руденко и Р. Я. Скляровым (1958) по рр. Рыболовной и Ниж. Зелинде. Бокситы бобовой структуры, красновато-бурового цвета. Диаметр бобовин 1,5–2 мм.

## Благородные металлы

Золото. Единичные зерна золота пластинчатой формы размером 0,2–0,6 мм отмечаются в отдельных шлиховых пробах по руч. Нагдиль (левый приток р. Каменки), р. Ака (левый приток р. Енды), в среднем течении р. Аладынай, в вершине р. Ниж. Зелинды, в устьевой части рр. Пай, Рыболовной, Прямой и Верх. Мутовки (правый приток р. Каменки).

## Редкие металлы

Олово. Единичные зерна кассiterита неправильной формы бурого цвета отмечены в шлиховых пробах в бассейне р. Ака, в мелких ручьях, расположенных между р. Дерюнгой и р. Ангарой, а также в вершинах рр. Амикана и Рыболовной.

Вольфрам. Шеелит в виде единичных зерен неправильной формы размером 0,1–0,3 мм отмечен в шлиховых пробах из аллювия руч. Шапежкина, устьевой части рр. Рыболовной и Мал. Каменки (выше шиверы Шунтар).

Монацит. Единичные зерна монацита встречаются в шлихах, отобранных из аллювия почти повсеместно на площади распространения пород синяя и кембрия. Зерна монацита окатаны и полукатаны, неправильной формы, размером 0,1–0,5 мм. Цвет медово-желтый, желтовато-бурый, красно-бурый. На площади развития пород синийского комплекса (правобережье р. Ангары) монацит имеет серый цвет. В количестве нескольких десятков зерен на шлих монацит отмечается по рр. Рыболовной, Аладынай, речкам Верхней и Нижней (правые притоки р. Ангары). Монацит, иногда в весовых количествах, отмечается по рр. Мокрой, Прямой, Бол. Дашике и их притокам. Наибольшая концентрация серого монацита установлена в аллювиальных отложениях верхнего течения рр. Верх. Осялики и Ямной, где четко выделяется ореол рассеяния [1]. Монацит в пробах находится в весовых количествах — от 5 до 90 г/м<sup>3</sup> — и в отдельных участках р. Ямной концентрация достигает 120–152 г/м<sup>3</sup> промытой породы (Смирнов, 1961). Полуколичественным рентгено-спектральным анализом (анализы произведены в ИГЕМ АН СССР) серого монацита установлено наличие в нем церия 20%, лантана 10%, иттрия около 2%, неодима около 15%, празеодима около 3%, тория около 0,3%, самария около 1%, гадолиния около 0,3% и диспрозия около 0,05%. По руч. Кипрушки и руч. Быковскому (правые притоки р. Ангары) содержание серого монацита в единичных шлихах достигает 200 г/м<sup>3</sup>.

На левом склоне долины руч. Кипрушки, в полосе развития пород шунтарской свиты, в двух металлометрических пробах из делювия установлено содержание церия и лантана более 4% (Ситников, 1960).

Цирконий. Циркон отмечается в шлиховых пробах часто и представлен хорошо окатанными, угловатыми и неокатанными зернами призматического или овально-вытянутого габигуса размером 0,1–0,5 мм. Цвет светло-бурый, розовый, сиреневый. Часто отмечается прозрачные разности.

Киноварь (р. Верх. Мутовка [7]). Механический ореол рассеяния киновари площадью 2 км<sup>2</sup> в аллювиально-делювиальных образованиях был выявлен в 1959 г. при геологической съемке листа О-46-XVIII. В аллювии р. Верх. Мутовки единичные зерна киновари размером от 1 до 3 мм отмечаются почти во всех шлиховых пробах. В одной из проб в верхнем течении содержится до 200 зерен киновари. Единичные зерна киновари в ряде проб отмечены в делювии. В металлометрических пробах по делювию руть не обнаружена. С целью установления коренных источников сноса киновари необходимо провести поисковые работы. Единичные зерна киновари размером до 1 мм отмечаются по ручьям, впадающим слева в р. Енду.

## НЕМЕТАЛЛИЧЕСКИЕ ИСКОПАЕМЫЕ

### Магнезиты

На площади листа О-46-XVIII известны Верхотуровское, Быковское месторождения и Мешковское проявление магнезитов, которые приурочены к полосе развития пород аладынской свиты, прослеживающейся от дер. Верхотурово до западной границы листа. Генезис их не установлен. В настоящее время месторождения магнезитов разведываются.

Верхотуровское месторождение [15] расположено на правом берегу р. Ангары в нижнем течении руч. Третьего (впадает в 3,5 км выше Быковской шиверы). Месторождение открыто в 1958 г. Б. Г. Цакуловым (Ситников, 1960). По данным А. В. Кириченко (1962), магнезиты на место-

рождении составляют примерно 70—80% от объема отложений алданской свиты, представленной доломитами. Распространены они по всей свите и представляют одну пластообразную залежь довольно сложного строения,сложненную разрывными нарушениями. Тело магнезитов имеет согласное падение с вмещающими их доломитами. Падение северное, северо-западное под углом 30—60°, а местами 70—80°. Магнезиты представлены различными структурами разностями от мелкокристаллических до крупнокристаллических. Цвет их от молочно-белого до серого. Среднее содержание  $MgO$  составляет 46,88%,  $CaO$  1,43% и  $SiO_2$  0,77%. Запасы кондиционных магнезитов по категориям  $C_1+C_2$  составляют 74,7 млн. т, а некондиционных — 41,2 млн. т (по состоянию на 1 апреля 1962 г.). Магнезиты пригодны для получения высококачественных огнеупоров, металлических порошков и хромо-магнезитовых изделий.

Быковское месторождение [19] расположено на правобережье р. Ангары в нижнем течении руч. Быковского (впадает в 1 км выше Быковской шиверы). Месторождение разведывалось в 1946—1947 гг. В. С. Домаревым.

Магнезиты месторождения изучены слабо, особенно в отношении их качества. В общих чертах оно имеет много общего с вышеописанным Верхотурским месторождением. Магнезиты здесь также слагают крупную залежь сложной конфигурации. Магнезиты светло-серые, серые, крупно- и мелкокристаллические. Среднее содержание  $MgO$  46,36%,  $CaO$  — 1,09% и  $SiO_2$  — 1,28%. Запасы магнезитов по категориям  $C_1$  и  $C_2$  составляют около 20 млн. т. Магнезиты пригодны для получения высококачественных огнеупоров, металлических порошков и хромомагнезитовых изделий (Кириченко, 1961).

Мешковское проявление [29] расположено на правом берегу р. Ангары у западной границы листа. Проявление открыто в 1934 г. партией ВСГТр. В. Ф. Федоровым было обнаружено шесть магнезитовых тел мощностью 20—30 м. Падение их северо-восточное под углом 50—70°. Магнезиты крупнокристаллические, серого и светло-серого цветов. Анализы единичных проб показали содержание  $Al_2O_3+Fe_2O_3$  1,25—2,16%,  $MgO$  42,15—46,58%,  $CaO$  4,63—6,91%,  $SiO_2$  0,22—0,23%, нерастворимый остаток 0,07—0,12% и п. п. 49,73—50,86%. Запасы магнезитов, подсчитанные В. Ф. Федоровым, составляют 368 тыс. т. В 1961 г. Верхотурской геологоразведочной партией выявлено два тела магнезитов суммарной мощностью 120 м. Размеры и морфология тел, а также качество магнезитов в настоящее время не установлены (Кириченко, 1961).

#### Тальк [17, 18, 28]

На Верхотурском, Быковском месторождениях и Мешковском проявлении магнезитов тальк в виде мелких линз и тел неправильной формы отмечается среди тел магнезитов. Линзы талька, достигающие мощности 4 м и более, отмечаются на Верхотурском и Быковском месторождениях магнезитов. Тальк рыхлый, белый, хорошего качества, но, по-видимому, имеет ограниченные запасы (Кириченко, 1961 г.).

#### Флинтклей

Р. Кокуй [30]. Отложения флинтклей изучались на Кокуйском каменноугольном месторождении Ю. К. Горецким и Н. Т. Калмыковым (1960).

Пласт флинтклей мощностью 1,9 м не четко ограничен и залегает среди песчано-глинистых отложений тушамской свиты нижнекарбонового возраста, которая слагает крылья кокуйской синклиналии. Пласт по простиранию не прослежен. Флинтклей представляет собой плотную каменистую породу светло-серого цвета с шероховатым изломом, образованную в результате переотложения продуктов докарбоновой халцедон-каолинитовой коры выветривания.

Микроскопическими, термическими и рентгеноструктурными исследованиями установлено, что флинтклей представлен в основном изоморфным,

иногда слабо раскрystаллизованным каолинитом с незначительной примесью гидрослюд. Среди общей массы рассеяны неправильные зерна кварца.

Химический анализ проб флинтклей показывает содержания:  $SiO_2$  — 49,60—49,08%,  $Al_2O_3$  — 36,72—34,34%,  $Fe_2O_3$  — 4,2—2,7%,  $TiO_2$  — 0,65%, п. п. 12,72—14,184%,  $Al_2O_3:SiO_2$  = 0,74—0,7. Из результатов анализа видно, что флинтклей характеризуется низким содержанием железа и титана. Испытания флинтклей на огнеупорность не производились, но судя по кремневому модулю, эти породы должны обладать высокой огнеупорностью. Флинтклей может служить сырьем при производстве огнеупоров класса «А» и сырьем для алюминиевой промышленности. Достаточная мощность, благоприятный химический состав и возможно широкое распространение дают основание на дальнейшее изучение с целью оценки запасов флинтклей.

#### Строительные материалы

Из строительных материалов известны долериты, известняки, доломиты, кровельные сланцы, глины и пески.

Долериты [39] имеют практически неограниченные запасы, слагая пластовые и секущие тела мощностью от первых метров до 150 и более метров в бассейнах рр. Аладиной, Моктыгиной и Кокуя. Тела долеритов обладают столбчато-призматической, призматической и радиально-столбчатой отдельностью. Залегание пластовых тел пологое, местами горизонтальное. Долериты представляют собой очень плотные породы от темно-серых до черных цветов с зеленоватым оттенком. Они имеют массивную текстуру и поликристаллическую, среднекристаллическую, иногда мелкокристаллическую равномерно-зернистую микроструктуру. Физико-технические исследования долеритов не производились. Долериты могут быть использованы в качестве бутового камня, щебня и как облицовочный материал.

#### Известняки

Больше-Дашкинское месторождение [22]. Известняки, связанные с отложениями киргитской свиты, вскрыты на водоразделе рек Большой Дашки и Ангары. Мощность их 400—600 м, прослеживаются они по простиранию вдоль рр. Большой Дашки и Малой Дашки более 20 км. Известняки серые, темно-серые, скрыто- и гипокристаллические и являются продолжением хорошо изученного Нижне-Ангарского месторождения известняков «Южное». Качество известняков изменяется по простиранию, поэтому они имеют различное применение. На основании химического анализа ( $SiO_2$  0,24—2,90%,  $RuO_3$  0,35—1,06%,  $Fe_2O_3$  0,12—0,25%,  $CaO$  52,53—55,56%,  $MgO$  0,35—1,62%,  $S$  менее 0,010%,  $P_2O_5$  0,007—0,053% и п. п. 41,89—43,30%) известняки могут быть использованы в качестве основного флюса (соответствуют требованиям заводов Юга) и подсобного геологического сырья. Кроме того, известняки могут быть использованы для бутобетона, бутовой кладки, укрепительных работ и получения щебня. Последнее базируется на аналогии этих известняков с известняками месторождения «Южное» на соседней площади, которые по показаниям испытаний на износ в барабане Деваля относятся к IV классу (Ситников, 1962).

Средне-Дашкинское месторождение [12] представлено известняками дашкинской свиты, которые развиты в бассейнах рр. Прямой, Большой Дашки и Верхний Ослияники. Известняки по составу близки к мергелям. Химический анализ их показал: содержание  $SiO_2$  — 2,92—12,88%,  $RuO_3$  — 0,52—3,30%,  $Fe_2O_3$  — 0,39—1,60%,  $CaO$  — 44,81—53,66%,  $MgO$  — 0,72—2,36%,  $S$  — менее 0,01%,  $P_2O_5$  — 0,026—0,069% и п. п. 36,20—42,03%. Эти известняки могут быть использованы в цементной промышленности как карбонатное сырье при получении портланд-цемента. Кроме того, эти известняки могут применяться в качестве бутового камня и щебня (Ситников, 1962 г.).

Аладинское [25] и Потоское [23] месторождения известняков, связанные с отложениями свиты карточки, приурочены к скаль-

ным выходам по обоим берегам р. Ангари. Аладынское месторождение расположено на правом берегу р. Ангари у шиверы Аладынской, а Потоскую ское на левом берегу в 4 км ниже устья р. Пашиной. Известняки плотные с глинистым материалом, характеризуются следующим химическим составом:  $\text{SiO}_2$  — 29,72—31,66%,  $\text{R}_2\text{O}_3$  — 2,20—6,98%,  $\text{Fe}_2\text{O}_3$  — 2,10—3,06%,  $\text{CaO}$  — 32,63—35,61%,  $\text{MgO}$  — 1,21—1,72%,  $\text{S}$  — 0,01—0,027%,  $\text{P}_2\text{O}_5$  — 0,04—0,93% и п. п. — 26,24—28,79%. Они могут быть использованы для изготовления портланд-цемента, но присутствие локальных участков окремиенских известняков, которое снижает качество портланд-цемента, ограничивает возможность применения их в цементной промышленности. Из этих известняков можно получать щебень для дорожного строительства (Ситников, 1962). Запасы известняков на месторождениях не установлены.

### Доломиты

Верхотурское месторождение [16] доломитов расположено на правобережье р. Ангари между деревнями Бык и Верхотуро. Доломиты приурочены к полосе развития аладынской свиты и представляют собой среднезернистые очень плотные породы светло-серого цвета. Химический состав доломитов (среднеарифметический) следующий:  $\text{MgO}$  — 22,56%,  $\text{CaO}$  — 29,52%,  $\text{SiO}_2$  — 1,17%,  $\text{R}_2\text{O}_3$  — 0,4% и п. п. — 46,12%. Доломиты могут использоваться для изготовления доломитового кирпича, мартенита, в качестве доломитового флюса при выплавке чугуна, для производства стекла, в химической промышленности, в промышленном, жилищном и дорожном строительстве (штучный камень, щебень, крошка). Запасы доломитов по состоянию на 1 апреля 1962 г. составляют 69,7 млн. т. В настоящее время на этом месторождении проводятся разведочные работы Верхотурской партией (Кириченко, 1962).

Быковское месторождение [20] расположено на правобережье р. Ангари в 4 км на северо-восток от д. Бык.

Доломиты этого месторождения по качеству аналогичны доломитам Верхотурского месторождения и приурочены также к полосе развития аладынской свиты. Запасы их не установлены (Кириченко, 1961).

Пайское месторождение [27] расположено на левом берегу р. Ангари в 1 км вверх по течению от устья р. Пай. Доломиты среднезернистые, плотные и приурочены к отложениям потоскской свиты, слагая скальные выходы высотой 30—40 м. Результаты химического анализа одной пробы доломита следующие:  $\text{SiO}_2$  — 1,88%,  $\text{R}_2\text{O}_3$  — 1,8%,  $\text{Fe}_2\text{O}_3$  — нет,  $\text{CaO}$  — 29,64%,  $\text{MgO}$  — 21,40%,  $\text{Na}_2\text{O}$  — 0,34%,  $\text{K}_2\text{O}$  — 0,06%,  $\text{SO}_3$  — 0,03%,  $\text{P}_2\text{O}_5$  — 0,031%,  $\text{CO}_2$  — 44,3% и п. п. — 44,67%. Эти доломиты могут быть использованы для производства оgneупоров. Запасы их не установлены.

Месторождение ск. Столбы [8] расположено на правом берегу р. Ангари в 7,5 км вверх по течению от устья р. Верх. Ослияки. При съемочных работах среди отложений киргитской свиты установлена пачка мощностью 50—60 м среднезернистых плотных доломитов. Термическим анализом установлено, что в них содержится 81% доломита и 11,9% кальцита. Результаты химического анализа следующие:  $\text{SiO}_2$  — 0,42%,  $\text{R}_2\text{O}_3$  — 0,26%,  $\text{Fe}_2\text{O}_3$  — нет,  $\text{CaO}$  — 29,58%,  $\text{MgO}$  — 22,66%,  $\text{Na}_2\text{O}$  — 0,04%,  $\text{K}_2\text{O}$  — 0,03%,  $\text{SO}_3$  — 0,06%,  $\text{P}_2\text{O}_5$  — 0,022%,  $\text{CO}_2$  — 46,0% и п. п. — 46,22%. Эти доломиты могут быть использованы для производства оgneупоров, строительной извести и получения магния. Запасы доломитов не установлены.

Каменское месторождение [10] расположено на правом берегу р. Ангари выше устья р. Каменки. При съемочных работах среди отложений верхнепотоскской подсвиты описана пачка мощностью 500—600 м светло-серых среднезернистых плотных доломитов, простирающаяся от восточной границы листа до с. Каменки. Химическим анализом доломитов установлено содержание:  $\text{SiO}_2$  — 1,70—2,24%,  $\text{R}_2\text{O}_3$  — 0,35—1,06%,  $\text{CaO}$  — 29,90—30,37%,  $\text{MgO}$  — 19,49—21,35% и п. п. — 45,58—45,92%. Качество их постоянно по простирации. По химическому составу доломиты могут использоваться для производства оgneупоров I класса, воздушной извести, в строительстве

в виде штучного камня, щебня, крошки и поропка, в стекольной промышленности. Запасы доломитов не установлены, но, судя, по геологической обстановке, они должны быть велики.

### Глины

Быковское месторождение [14] расположено на водораздельном пространстве вершин руч. Верхотуровки и Быковского (Ситников, 1959). Глины развиты среди палеогеновых бокситоносных отложений. Площадь развития глин составляет 2,4 км<sup>2</sup>. Мощность их достигает 40—80 м. Глины плотные, жирные, каолинизированные, различной окраски. Результаты химических анализов следующие:  $\text{SiO}_2$  — 30,14—61,10%,  $\text{Al}_2\text{O}_3$  — 15,60—33,78%,  $\text{Fe}_2\text{O}_3$  — 13,85—19,35%,  $\text{TiO}_2$  — 0,76—2,17% и п. п. — 6,44—13,94%. Они могут использоваться для производства изделий грубой строительной керамики: кирпича, кровельной черепицы.

### Сланцы кровельные

Устье р. Ниж. Ослияки [21]. В 1961 г. на правом склоне устьевой части р. Ниж. Ослияки, среди отложений шунтарской свиты, П. П. Ситниковым описаны глинистые сланцы. Сланцы достаточно плотные, легкие, моно-тонной окраски (темно-серая, почти черная) и легко раскалываются на плитки с ровной гладкой поверхностью, а также пробиваются молотком (не хрупкие). Размер плиток 15×25 см при толщине 5—7 мм. Качество и запасы их не установлены.

### Пески

Месторождение р. Прямой [2]. В 1954 г. Нижне-Ангарской партией на водоразделе р. Прямой и ее левого притока обнаружено месторождение песков, которое связано с песчаниками мешаковской свиты. Пески элювиального происхождения, в основном кварцевые средне- и мелкозернистые. Мощность их 2—3 м при значительной площади распространения. Химический состав песков следующий:  $\text{SiO}_2$  — 93,0—96,6%,  $\text{Al}_2\text{O}_3$  — 0,43—2,65,  $\text{Fe}_2\text{O}_3$  — 1,59—2,97,  $\text{CaO}$  — до 0,19,  $\text{MO}$  — 0,19—0,53,  $\text{SO}_3$  — до 0,04,  $\text{TiO}_2$  — от 0,15 до 0,25,  $\text{Cr}_2\text{O}_3$  — до 0,05,  $\text{Na}_2\text{O} + \text{K}_2\text{O}$  — до 0,6%. Эти пески могут быть использованы для производства кирпича, отдельных видов цемента и бетона и в качестве балласта для железнодорожного строительства. Запасы песков определяются в 2—3 млн. м<sup>3</sup>. (Смирнов, 1961).

Деньгаутское месторождение [26] расположено на водоразделе руч. Деньгаут и р. Ангари. Пески впервые описаны в 1949 г. Ф. Я. Паном (1950) на левом склоне руч. Деньгаут. В 1960 г. при съемочных работах пески были вскрыты шурфами и на водоразделе. Мощность песков 1,0—3,5 м и более. Площадь распространения их не установлена. Пески представляют собой элювиальные образования и генетически связаны с песчаниками киргитской свиты. Зернистость песков мелкая и средняя. Минералогический состав: кварц, незначительное количество рутила и циркона.

Химический анализ песков на левом склоне руч. Деньгаут показал содержание:  $\text{SiO}_2$  — 93,35%,  $\text{Al}_2\text{O}_3$  — 1,1%,  $\text{R}_2\text{O}_3$  — 1,17%,  $\text{TiO}_2$  — 0,074%,  $\text{S}$  — 0,031%,  $\text{CaO}$ ,  $\text{MgO}$ ,  $\text{Fe}_2\text{O}_3$ ,  $\text{MnO}$  — следы.

Пески на водоразделе имеют следующий химический состав:  $\text{SiO}_2$  — 92,8%,  $\text{Fe}_2\text{O}_3$  — 2,75%,  $\text{Al}_2\text{O}_3$  — 0,93%,  $\text{MnO}$  — 0,055% и п. п. — 0,28%. Судя по данным химических анализов, эти пески могут быть использованы для производства кирпича, некоторых видов цемента и бетона. С целью определения запасов и качества песков здесь необходимо провести геологические работы.

Строительные материалы заслуживают постановки поисково-разведочных работ для окончательной оценки.

## ПОДЗЕМНЫЕ ВОДЫ

По условиям распространения и фильтрации подземные воды можно подразделить на несколько типов:

1. Грунтовые воды четвертичных отложений.
2. Грунтово-трещинные воды коренных пород дочетвертичного возраста.
3. Карстовые воды.
4. Минерализованные воды.

Грунтовые воды четвертичных образований приурочены в основном к аллювиальным отложениям, слагающим террасы р. Ангары и ее притоков, и в меньшей мере — к элювиально-делювиальным отложениям водораздельных пространств и болотным образованиям.

Воды аллювиальных отложений различного возраста образуют единый грунтовый поток, дренируемый р. Ангарой и ее притоками, и имеют общую, обычно свободную, поверхность. Водосодержащие — галечники с примесью щебенки и супесчаным заполнителем. Подстилающие — терригенные и карбонатные породы синяя и кембрия. Питание происходит за счет инфильтрации атмосферных осадков и подпитывая со склонов. Воды пресные, pH 6,8—7,2, жесткость 2,24—6,89 мг/экв. По минерализации воды четвертичных террас гидрокарбонатно-хлоридно-магниево-кальциевые или кальциево-магниевые. Содержание углекислоты 40 мг/л. Воды современного аллювия гидрокарбонатно-кальциевые.

Мощность водоносного горизонта от 3—5 до 10—12 м. Глубина залегания от 5 до 10—13 м. Выходы в виде заболоченности и реже — в виде источников с дебитом 0,1—1 л/сек.

Воды, распространенные в элювиально-делювиальных образованиях, в большинстве своем имеют сезонный характер, накапливаясь в периоды гидрогеологического максимума. С крутых склонов эти воды быстро стекают в виде грунтового потока и частично расходуются на питание трещинных вод, развитых в трещиноватых разностях коренных пород. Лишь на выложенных участках они имеют более постоянный режим, встречаясь в течение круглого года и иногда создавая заболоченность. Площадь заболоченных участков на платформе иногда достигает 1—2 км<sup>2</sup>, часто с окнами чистой воды размерами 100—500 м.

Грунтово-трещинные воды включают воды пермо-карбоновых, кембрийских, синийских отложений и траппов. Степень водообильности зависит от трещиноватости пород, что в свою очередь зависит от сложных тектонических деформаций, разнообразных диагенетических явлений и физического выветривания в условиях континентального климата.

В основном трещинные воды имеют свободную поверхность, но в ряде случаев приобретают напорный характер. По химическому составу трещинные воды относятся к типу гидрокарбонатно-кальциевых, обладают незначительной кислотностью, иногда слабой щелочностью, pH 6—8. По физическим свойствам эти воды бесцветны, иногда слабо мутноваты, безвкусны, пресные, жесткость 11—15°. Величина общей минерализации не превышает 200—250 мг/л.

В породах продуктивной толщи пермо-карбона в районе Кокуйского угольного месторождения М. В. Сыроватко выделено около 15 водоносных горизонтов, связанных с угольными пластами и песчаниками, перемежающимися с пропластками водоупорных аргиллитов, а также с траппами.

В этих отложениях нами не зафиксировано ни одного источника, однако долина р. Кокуй сильно заболочена.

Грунтово-трещинные воды в траппах встречаются обычно на небольшой глубине и проявляются на склонах трапповых возвышенностей в виде многочисленных небольших мочажин и источников. Дебит источников невелик — 0,1, реже 1,5 л/сек. Вода бесцветная, пресная, без запаха, pH 6,8—7,8, жесткость 0,69—5,09 мг·экв. Вода гидрокарбонатно-хлоридно-кальциево-магниевая с минерализацией 0,04—0,26 г/л.

Воды кембрийских отложений прозрачны, иногда солоноватые на вкус, pH 6,8—8,0, содержание углекислоты 4—22 мг/л, жесткость 0,6—7,02 мг·экв.

В площадном отношении преобладают воды зоны активного водообмена. Источники нисходящего типа с дебитом менее 1 л/сек.

Воды синийских отложений характеризуются различной минерализацией: воды погорюйских и потоскайских отложений мало минерализованы, алайдинской, свиты карточки, шунтарской и киргитской свиты отличаются повышенной минерализацией. Величина сухого остатка колеблется от 46,0 до 166 мг/л, жесткость различная (в породах алайдинской свиты и свиты карточки — 2,5 немецких градуса, в шунтарской и киргитской — 5,74 немецких градуса). Воды сульфатно-кальциевые, гидрокарбонатно-кальциевые.

Карстовые воды. На территории листа О-46-XVIII в карбонатных породах кембрия и синия широкое развитие имеют карстовые воронки и западины, иногда наполненные водой. В поверхностных водах на этих участках водный поток присутствует только в период весеннего паводка, когда он задерживается от проникновения в карстовые полости сезонной мерзлотой или высоким уровнем зеркала карстовых вод. В остальное время года карстовые полости и русла речек Дальней, Кармишонихи, Тальца, Рыболовной, руч. Быковского, Ниж. Шиверного и других на большом своем протяжении вплоть до приступьев части остаются сухими.

Минерализованные воды. Отмечено несколько минерализованных источников. На правом берегу р. Нижней (приток реки Кокуй) в 1,5 км выше ее устья И. А. Санжарой были встречены соленые источники, связанные с кремнистыми известняками нижнего кембра.

Повышенная соленость вод наблюдается в р. Мал. Каменке, впадающей в р. Ангару слева в 5 км ниже устья р. Каменки. В 500 м ниже устья р. Мал. Каменки из кембрийских красноцветных песчаников вытекает небольшой горько-соленый источник.

Вода ручья, владеющего в р. Моктыгину в 6 км выше устья руч. Гремучего, при минимальном расходе обнаруживает кислый вкус. Природа и генезис этих источников не установлены.

## ПЕРСПЕКТИВЫ РАЙОНА

Территория листа О-46-XVIII входит в пределы восточной части Енисейского кряжа, в которой, кроме разрабатываемых издавна месторождений золота, разведаны крупные месторождения магнезитов, железа, талька, бокситов. Район занимает выгодное географическое положение благодаря пересекающей его р. Ангаре.

Наибольший практический интерес на площади листа О-46-XVIII представляют месторождения каменного угля и высококачественных магнезитов. Наличие большого количества углерождений указывает на возможность находки новых месторождений угля, а полоса развития пород алайдинской свиты перспективна для дальнейших поисков магнезитов.

Промышленная ценность месторождений строительных материалов не выяснена, но, по имеющимся данным, качество их может быть высоким. Геологические запасы их практически не ограничены.

Заслуживают внимания также перспективы поисков сульфидных руд в бассейне р. Аладиной и коренных источников сноса монацита в бассейне р. Верх. Осланки.

Вопрос о бокситоносности района не решен. По нашему мнению, в отношении бокситов мезо-кайнозойского возраста район неперспективен. Породы типа флинтклей, приуроченные к отложениям нижнего карбона, заслуживают внимания, так как можно ожидать широкого развития их на площади распространения каменноугольных отложений.

В заключение следует отметить, что южная часть района принадлежит к Канско-Тасеевской владине и по аналогии с другими районами юга Сибирской платформы может рассматриваться как перспективная на нефтегазоносность. В частности, значительный интерес в этом отношении могут представлять антиклинальные структуры, осложняющие мощную толщу нижнекембрейских отложений.

## ЛИТЕРАТУРА

### Опубликованная

Башенина Н. В., Леонтьев О. К., Симонов Ю. Г., Выскребенцева Б. С., Заруцкая И. П. Легенда для геоморфологических карт крупных съемочных масштабов и ее место в единой геоморфологической классификации. «Советская геология», № 11, 1958.

Благовещенская М. Н. Государственная геологическая карта СССР м-ба 1:1000000 лист О-47 (Иланский). Госгеолтехиздат, 1958.

Боголепов К. В. Опыт формационного расчленения континентальных мезозойских и третичных отложений восточной части Западно-Сибирской низменности и Енисейского кряжа. Материалы по геологии Красноярского края. Госгеолтехиздат, 1960.

Боголепов К. В. Мезозойские и третичные отложения восточной окраины Западно-Сибирской низменности и Енисейского кряжа. Стратиграфия и основы формационного расчленения. Госгеолтехиздат, 1961.

Боч С. Г., Краснов И. И. Классификация объектов геоморфологического картирования и содержание общих геоморфологических карт в связи с разработкой легенд для карт разных масштабов (статья первая). «Советская геология», ч. 2, 1958.

Вербицкая Н. Г., Ильюхина Н. П., Ковбасина В. М. Стратиграфия и литология верхнепалеозойских угленосных отложений юго-западной окраины Тунгусского бассейна. Материалы по геологии и полезным ископаемым Сибирской платформы. ВСЕГЕИ, нов. сер. вып. 23, 1959.

Геренчук К. И. К вопросу об устойчивости речных систем и водоразделов и условиях их перестройки. Науч. докл. высш. школы, геол.-геогр. науки, 3, 1958.

Глико О. А. Структурно-металлогеническое районирование Енисейского кряжа. Мат-лы по геологии Красноярского края. Госгеолтехиздат, 1960.

Горецкий Ю. К., Калмыков Н. Т. О поисках бокситов и оgneупорных пород типа флинктлей в палеозойских угленосных отложениях Сибирской платформы. «Советская геология», № 3, 1960.

Ермолов В. В. Вопросы составления геоморфологических карт при среднемасштабной комплексной геологической съемке северных районов. Труды НИИГа, т. 83, 1958.

Кириченко Г. И. Государственная геологическая карта СССР м-ба 1:1000000. Объяснительная записка к листу О-46.

Кириченко Г. И. Верхний протерозой западной окраины Сибирской платформы. Мат-лы по геологии Сибирской платформы. Госгеолтехиздат, 1955.

Кириченко Г. И. О тектонической структуре Енисейского кряжа и о положении ее в общей структуре района. Информационный сборник ВСЕГЕИ, 4, 1956.

Кириченко Г. И. Доклад «Основные черты геологического строения Енисейского кряжа и задачи дальнейших исследований». Ленинград, 1957.

Кириченко Г. И. Енисейский кряж и Туруханско поднятие. Геологическое строение СССР, т. 1. Стратиграфия. Госгеолтехиздат, 1958.

Кириченко Г. И., Додин А. Л. Енисейско-Восточно-Саянская складчатая область. Геологическое строение СССР, т. 3. Тектоника. Госгеолтехиздат, 1958.

Кириченко Г. И. Геологическое строение и полезные ископаемые Енисейского кряжа. Мат. по геологии Красноярского края. Госгеолтехиздат, 1960.

Лурье М. Л. О терминологии Сибирских траппов. Мат. по геологии Сибирской платформы. ВСЕГЕИ, нов. сер., вып. 7, 1955.

Мейстер А. К. Геологические исследования в золотоносных областях Сибири, вып. 4. Маршрутные исследования по рр. Ангаре и Каменке, 1904.

Обручев С. В. Тунгусский бассейн (южная и западная части), тт. I и II. Тр. Всесоюз. геологоразв. объединения, вып. 164, 1932.

Пейве А. В. Принцип унаследованности в тектонике. Изв. АН СССР, сер. геол., вып. 6, 1956.

Плотников Л. М. Геологическое строение юго-восточной части Енисейского кряжа (автореф. диссерт). Ленинград, 1961.

Предтеченский А. А. Древнее поднятие южной Сибири. Мат. по региональной геологии. СНИИГИМС, вып. 13, 1960.

Смирнов А. И. Докембрийские фосфориты Енисейского кряжа. Труды ГНИИ горно-химического сырья, вып. 2, 1955.

Сулимов И. Н. Тектоника Канско-Тасеевского района. «Нефтегазовая геология и геофизика», № 1, 1963.

Третьяков А. В. Стратиграфия и литология осадочных толщ верхнего докембра юго-восточной окраины Енисейского кряжа. (автореф. диссерт.).

Философов В. П. Опыт генетической классификации континентальных равнин Уч. зап. Саратовского гос. ун-та, вып. геол., т. 65, 1959.

Философов В. П. Краткое руководство по морфометрическому методу поисков тектонических структур. Изд-во Саратовского гос. ун-та, 1960.

Хоментовский А. С. Структура и тектоника юго-западной части Сибирской платформы. Бюлл. МОИП, отд. геол., т. XX, вып. 5—6, 1954.

Хоментовский А. С. Признаки верхнепалеозойского оледенения в южной части Сибирской платформы. Бюлл. МОИП, отд. геол., т. XXIII, вып. 4, 1956.

Шейман Ю. Н. Древнейшие структуры платформ и их значение для общей тектоники. «Советская геология», 3, 1959.

### Фондовая

Агафонов М. В. Отчет о работах ревизионной партии № 86 за 1952 г. Фонды КГУ, 1953, № 07330.

Амосов М. А. Татарская группа бокситовых месторождений в Красноярском крае (подсчет запасов по состоянию на 1 января 1959 г.). Фонды КГУ, 1960, № 1116.

Аркадьев Б. А., Пименова А. В. Отчет по работам Красноярской геофизической партии № 116 за 1949—1950 гг. Фонды КГУ, 1951, № 6014.

Быстрицкий А. А. Отчет по материалам работ Красноярской геофизической партии за 1951 г. Фонды КГУ, 1952, № 6395.

Быкалов В. С. Отчет о разведочных работах на Кокуйском каменноугольном месторождении за 1949—1956 гг. Фонды КГУ.

Вдовиченко Ю. Я. и др. Отчет о работах Ангарской геофизической партии за 1958 г. Фонды КГУ, 1959, № 08686.

Голубев С. М., Хардина Л. И., Дьяконова Т. С., Гудимин В. Т., Щеглов Т. И. Отчет об инженерно-геологических исследованиях в зоне Енисейского в/хранилища участка Богучаны — ск. Выдумской Бык. Н — Ангарская ИГП. Фонды КГУ, № 087800.

Елхов Ю. Н., Киселева Т. И. Геологическое строение верхнего течения р. Бол. Пит (отчет о геологической съемке м-ба 1:200 000 листа О-46-В). Фонды КГУ, 1958, № 55-С.

Елхов Ю. Н., Киселева Т. И., Хохлов А. П., Барановский В. И. Геологическое строение бассейна верхнего течения р. Каменки (промежуточный отчет о геологосъемочных работах м-ба 1:200 000 за 1959 г.). Фонды КГУ, 1960, № 1225.

Казакевич Ю. П., Жаднова Т. П., Мостовая С. Б., Николаев С. С., Шворева В. И. Перспективы алмазоносности территории «Енисейстрой» (отчет по геме 332). Москва, 1951; Фонды КГУ, 1952, № 5177.

Каспарова Е. А. Отчет Енисейской аэромагнитной экспедиции за 1957 г. Фонды КГУ, 1958, № 1005.

Кириченко Г. И. Геологический очерк восточного склона Енисейского кряжа (бассейн р. Иркинеевой), 1939. Фонды КГУ, № 23.

Кириченко Г. И. Отчет Нижне-Ангарской партии за 1947 г. Фонды КГУ, 1946, № 194.

Кузнецов Ю. А. Предварительный отчет маршрутной партии, 1939 г. Томск, Фонды КГУ, № 707.

Массов Г. И., Земская В. Г. и др. Поиски урана в Минусинской котловине и восточной части Енисейского кряжа (отчет аэrorадиометрической партии № 821 за 1958 г.). Березовская экспедиция 1-го главка. Фонды КГУ, 1959, № 08741.

Майборода А. Т. Отчет о работе Ангарской аэрогеологической экспедиции в 1947 г., т. IX. Работы аэромагнитной партии № 6. Фонды КГУ, 1948, № 5225.

Менделеев О. С., Лобанов Д. А. Отчет о работах ревизионной партии № 86 Северной экспедиции, проведенных в 1953 г. Фонды КГУ, 1954, № 07347.

Пан Ф. Я. К геологии Нижне-Ангарского железорудного бассейна (отчет о геологосъемочных работах за 1947—1948 г.). Фонды КГУ, 1949, № 046.

Пан Ф. Я. К геологии Нижне-Ангарского железорудного бассейна (отчет о работах Каменской геологосъемочной партии за 1949 г.). Фонды КГУ, 1950, № 047.

Паруин А. Я., Афанасьева З. И. Отчет о работах Мурской партии за 1959 г. Фонды АГРЭ, 1961, № 1239.

Пармuzин Ю. П., Дегтярев Г. В., Сеготова Н. И. Отчет о работах Ангарской аэрогеологической экспедиции в 1947 г., т. IV, фонды КГУ.

Плотников Л. М., Талова Г. Н. Геологическое строение левобережья нижнего течения р. Каменки (отчет Каменской партии Саяно-Енисейской экспедиции ВСЕГЕИ по работам 1955 г.). Фонды КГУ, 1956, № 870.

Плотников Л. М., Талова Г. Н. Геологическое строение бассейна среднего течения р. Каменки (отчет о полевых работах Удерейской партии в 1957 г.). Фонды КГУ, 1958, № 1009.

Полунина Л. А., Кукушкин А. И., Шалыт Б. С. Интрузивные траппы среднего течения р. Ангара (отчет трапповой партии Восточно-Сибирской экспедиции ВСЕГЕИ о работе в 1960 г.), № 11054. Фонды КГУ, 1961.

Проофьев П. И. Геологическое строение и полезные ископаемые правобережья Ангара между д. Мотыгино и Бык. Фонды КГУ, № 184.

Рублев А. К. Геологическое строение бассейнов рр. Удоронги и Паренды (правый притоков р. Каменки). Фонды КГУ, 1950, № 13.

Руденко А. Д., Скляров Р. Я. Отчет о работах Манзинской поисковой партии за 1957 г. Фонды КГУ, 1958, № 947.

Санжара И. А. Отчет о поисковых работах, произведенных Ангарской ГРП в районе Кокуйского каменноугольного месторождения в 1951 г. Фонды КГУ, 1952, № 861.

Сережкин П. И. Отчет о разведочных работах на Кокуйском каменноугольном месторождении за 1949—1956 гг. Фонды КГУ, 1957, № 960.

Ситников П. П. Промежуточный отчет о работах II Дашиинской и Верхотуровской поисково-съемочных партий за 1958—1959 гг. Фонды КГУ, 1960, № 1220.

Ситников П. П. Отчет о работах II Дашиинской и Верхотуровской поисково-съемочных партий за 1958, 1959, 1961 гг. Фонды АГРЭ.

Смирнов М. С., Смирнова Л. В., Вялехжанин М. М. Геологический отчет о работах Осянинской поисково-съемочной партии за 1958—1960 гг. Фонды АГРЭ, 1960, № 50-с.

Суджиян В. Е., Сухоруков Л. В., Явмееева И. М. Отчет партии № 3 о результатах поисково-опробовательских работ, проведенных в 1953 г. Фонды КГУ, 1954, № 415.

Суима И. С., Алексеева М. П., Бардина И. Ю., Шахов Г. П., Паласьян Л. Л., Никольская Л. В. Отчет об инженерно-геологических исследованиях, проведенных в зоне Енисейского в/хранилища, в пределах устьевой части р. Ангара от ск. Выдумской Бык до с. Стрелка. Усть-Ангарская ИГП, Фонды КГУ, 1958, № 08780.

Третьяков А. В. Отчет о работах стратиграфической партии в районе Нижне-Ангарского железорудного бассейна в 1948 г. Фонды КГУ, № 68.

48

Цакулов Б. Г. Геологическое строение Ендинского месторождения бокситов (отчет Каменской партии за 1957—59 гг.). Фонды КГУ, 1960, № 1208.

Чудаков Н. А. Отчет о работах Алданской поисково-опробовательской партии за 1957 г. Фонды КГУ, 1958, № 969.

Шелехов Б. Е., Смирнов М. С. Геологический отчет о работах Осянинской ПСП за 1958 г. Фонды КГУ, 1959, № 1098.

Шибистов Б. В., Шибистова Н. Р., Шевченко В. В., Гудощников Н. Г. Геологическое строение бассейна р. Ангара от устья р. Каменки до устья р. Кокуй (отчет о геологосъемочных работах м-ба 1:200 000 Потоскайской партии за 1959—1960 гг.), т. I. Геологическое строение. Фонды КГУ, 1961, № 09671.

Яркаев К. Ш., Вязу А. И., Вязу М. Н. Отчет о работах Рыбинской ГСП за 1958 г. (геологическая съемка м-ба 1:200 000 листа О-46-XVII). Фонды КГУ, 1959, № 1099-с.

Яркаев К. Ш. Геологическая карта СССР м-ба 1:200 000 листа О-46-XVII. Красноярск, 1960, 010162.

**ПРИЛОЖЕНИЕ 1**  
**СПИСОК МАТЕРИАЛОВ, ИСПОЛЬЗОВАННЫХ**  
**ДЛЯ СОСТАВЛЕНИЯ КАРТЫ ПОЛЕЗНЫХ ИСКОПАЕМЫХ**

№ п/п	Фамилия и инициалы автора	Название работ	Год со- ставле- ния или издания	Местонахождение материала, его фондовый номер
1	Быкадоров В. С.	Отчет о разведочных работах на Кокуйском каменноугольном месторождении за 1949—1956 гг.	1960	Фонды Красноярского ГУ, 36
2	Горецкий Ю. К., Калмыков Н. Т.	О поисках бокситов и оgneупорных пород типа флинтклей в палеозойских угленосных отложениях Сибирской платформы. «Советская геология»; 3.	1960	
3	Кирченко А. В.	Промежуточный отчет по работам Быковской ГРП в 1961 г.	1962	Фонды Ангарской геолого-разведочной экспедиции
4	Пан Ф. Я.	Отчет о работах Каменской геологопоисковой партии Нижне-Ангарского разведрайона за 1949 г.	1950	Фонды Ангарской геолого-разведочной экспедиции, № 47
5	Парунин А. Я., Афанасьева З. И.	Отчет о работах Мурской партии за 1959 г.	1961	Фонды Ангарской геолого-разведочной экспедиции, № 123
6	Руденко А. Д., Скляров Р. Я.	Отчет о работах Маньзинской поисковой партии за 1957 г.	1958	Фонды Ангарской геолого-разведочной экспедиции, № 947
7	Ситников П. П., Ситникова Э. А., Силенко И. И., Еремин И. И.	Отчет о работах II Дашкинской и Верхотуровской поисково-съемочных партий в 1958—1961 гг.	1962	Фонды Ангарской геолого-разведочной экспедиции
8	Смирнов М. С., Смирнова Л. В.	Геологический отчет о работах Ослиянской поисково-съемочной партии за 1958—1960 гг.	1961	Фонды Ангарской геолого-разведочной экспедиции, № 50
9	Чудаков Н. А.	Отчет о работах Аладьинской поисково-опробовательской партии в 1957 г.	1958	Фонды Ангарской геолого-разведочной экспедиции, № 969

**ПРИЛОЖЕНИЕ 2**  
**СПИСОК ПРОМЫШЛЕННЫХ МЕСТОРОЖДЕНИЙ**  
**ПОЛЕЗНЫХ ИСКОПАЕМЫХ, ПОКАЗАННЫХ НА ЛИСТЕ О-46-XVIII**  
**КАРТЫ ПОЛЕЗНЫХ ИСКОПАЕМЫХ м-ба 1 : 200 000**

Номер по карте	Индекс клетки на карте	Наименование месторождения и вид полезного ископаемого	Состояние эксплуатации	Тип месторождения (к—коренное)	№ использованного материала по списку (прилож. 1)
47	IV-1	Каменный уголь Кокуйское Магнезит	Не эксплуатируется	к	1
15 19	II-1 II-1	Верхотуровское Быковское	То же "	к к	3 3
16	II-1	Доломит Верхотуровское	"	к	3
2	I-1	Песок строительный р. Прямая	"	к	8

**ПРИЛОЖЕНИЕ 3**

**СПИСОК НЕПРОМЫШЛЕННЫХ МЕСТОРОЖДЕНИЙ  
ПОЛЕЗНЫХ ИСКОПАЕМЫХ, ПОКАЗАННЫХ НА ЛИСТЕ О-46-XVIII  
КАРТЫ ПОЛЕЗНЫХ ИСКОПАЕМЫХ м-ба 1:200 000**

Номер по карте	Индекс клетки на карте	Наименование месторождения и вид полезного ископаемого	Состояние эксплуатации	Тип месторождения (к—коренное) р—россыпные)
		Гематитовые руды		
3	I-1	Рудногорское	Не эксплуатируется	к
		Долериты		
39	III-3	Бассейны рр. Аладынной, Моктыгиной, Кокуя и др.	То же	к
		Известняки		
12	II-1	Средне-Дашкинское	"	к
22	II-2	Больше-Дашкинское	"	к
23	II-2	Потоскайское	"	к
25	II-2	Аладынское	"	к
		Доломиты		
8	I-3	Ск. Столбы	"	к
10	I-4	Каменское	"	к
20	II-1	Быковское	"	к
27	III-1	Пайское	"	к
		Глины кирпичные		
14	II-1	Быковское	"	к
		Сланцы кровельные		
21	II-2	Устье р. Ниж. Ослянки	Не эксплуатируется	к
		Пески		
26	II-3	Деньгаутское	То же	к

**ПРИЛОЖЕНИЕ 4**

**СПИСОК ПРОЯВЛЕНИЙ ПОЛЕЗНЫХ ИСКОПАЕМЫХ,  
ПОКАЗАННЫХ НА ЛИСТЕ О-46-XVIII  
КАРТЫ ПОЛЕЗНЫХ ИСКОПАЕМЫХ м-ба 1:200 000**

Номер по карте	Индекс клетки на карте	Название (месторождение) проявления и вид полезного ископаемого	Характеристика проявления	Номер использованного материала по списку (Приложение 1)
		Каменный уголь		
31	III-2	Червяковское		1
32	III-2	Пайское-I		1
33	III-2	Пайское-II		1
34	III-2	Пайское-III		1
38	III-3	Руч. Глухариного		1
40	III-3	Пальтетьское		9
43	III-4	Лучиковское		1
44	III-4	р. Тихой		9
45	III-4	руч. Утиного		9
46	III-3-4	руч. Среднего		9
48	IV-1	р. Нижней		9
49	IV-2	Верхнекокуйское		9
50	IV-3-4	Моктыгинское		9
		Магнетитовые руды		
36	III-3	Лучик-I		5
41	III-4	Верхнелучиковское		
42	III-4	Лучик-II		
		Гематитовые руды		
4	I-1	Нижне-Ослянское		
		Сидеритовые руды		
9	I-3	Левый берег р. Ангары ниже р. Рыболовной		
11	I-4	Левый берег р. Ангары против устья р. Каменки		
		Железо-марганцевые руды		
24	II-2	Руч. Нижне-Шиверного		
		Цинк		
6	I-2	Нижне-Ослянское		

Продолжение прилож. 4

Номер по карте	Индекс клетки на карте	Название (месторождение) проявления и вид полезного ископаемого	Характеристика проявления	Номер использованного материала по списку (Приложение 1)
		Свинцово-цинковые		
5	I-2	Талинское		
		Медно-никелевые		
35	III-3	Лучковское		
37	III-3	Аладынское		
		Алюминий		
13	II-1	Верховье руч. Быковского	боксит	7
30	III-1	р. Кокуй	флинтклей	2
		Редкие земли		
1	I-1, 2, 3	Ореол рассеяния монацита		
		Ртуть		
7	I-4	Ореол рассеяния киновари		
		Тальк		
17	II-1	Верхотуровское		
18	II-1	Быковское		
28	III-1	Мешковское		
		Магнезит		
29	III-1	Мешковское		

СОДЕРЖАНИЕ

	Стр.
Введение . . . . .	3
Стратиграфия . . . . .	6
Интузивные образования . . . . .	22
Тектоника . . . . .	25
Геоморфология . . . . .	29
Полезные ископаемые . . . . .	32
Подземные воды . . . . .	44
Литература . . . . .	46
Приложения . . . . .	50

Редактор издательства И. Е. Дмитриева

Техн. редактор В. В. Романова

Корректор Т. М. Столярова

Подписано в печать 17/III 1969 г.  
Формат 60×90<sup>1/16</sup>.  
Печ. л. 3,5  
Тираж 100 экз.

Уч.-изд. л. 5,7  
Заказ 04378

Издательство «Недра»  
Ленинградская картографическая фабрика ВАГТ